

Comune di Orta Nova,  
Provincia di Foggia, Regione Puglia

## ARNG SOLAR I S.R.L.

Viale Giorgio Ribotta, 21 Eurosky Tower - Interno 0B3

ROMA (RM), 00144

PEC: arngsolar@pec.it

### Impianto Agrivoltaico "ORTA NOVA 36.5"

PD01\_27 - RELAZIONE DI COMPATIBILITÀ ELETTRROMAGNETICA – AREA FV

PROGETTISTI		IL PROPONENTE
<b>Coordinamento tecnico di progetto</b>		<b>ARNG SOLAR I S.R.L.</b> Sede legale: Viale Giorgio Ribotta, 21 Eurosky Tower - Interno 0B3 ROMA (RM), 00144 PEC: arngsolar@pec.it Numero REA RM - 1673665 P.IVA 02328180688
<b>Michele Di stefano</b> Ordine Ingegneri della Provincia di Chieti - n. 1463 <a href="mailto:mdistefano@nrgplus.global">mdistefano@nrgplus.global</a>		
<b>Supporto tecnico di progetto</b>		
<b>Cosimo TOTARO</b> Ordine Ingegneri della Provincia di Brindisi - n. 1718 <a href="mailto:engineering@nrgplus.global">engineering@nrgplus.global</a>		
<b>RESPONSABILE TECNICO NRG+</b>		
<b>Maurizio DE DONNO</b> Ordine Ingegneri della Provincia di Torino - n. 10258 H <a href="mailto:madedonno@nrgplus.global">madedonno@nrgplus.global</a>		

SETTEMBRE 2022

<b>ARNG SOLAR I S.R.L.</b> Viale Giorgio Ribotta, 21 - 00144 Eurosky Tower Int. 0B3 - Roma (RM) C.F e P.IVA: 02328180688 PEC: <a href="mailto:arngsolar@pec.it">arngsolar@pec.it</a>	<b>IMPIANTO AGRIVOLTAICO  ORTA NOVA 36.5</b>		
<b>PROGETTO DEFINITIVO</b>	<b>ORTA NOVA, FOGGIA,  PUGLIA</b>	<b>IN-GE-02  Rev. 0</b>	Pag. 2 di 42

## INDICE

<b>1. PREMESSA</b>	.....	3
<b>2. DESCRIZIONE SOMMARIA DEGLI IMPIANTI</b>	.....	3
<b>3. DOCUMENTI DI RIFERIMENTO</b>	.....	4
<b>4. NORMATIVA DI RIFERIMENTO</b>	.....	5
4.1 LIMITI DI RIFERIMENTO.....	.....	5
4.2 OBIETTIVO DI QUALITÀ, FASCIA DI RISPETTO E DPA .....	.....	7
4.3 METODOLOGIA DI CALCOLO DELLE FASCE DI RISPETTO / DPA .....	.....	9
4.4 CALCOLO DELLE FASCE DI RISPETTO IN BASE AL MODELLO PREVISTO DALLA NORMA CEI 211-4.....	.....	10
4.5 CALCOLO DELLE FASCE DI RISPETTO IN BASE AD UN MODELLO APPROSSIMATO.....	.....	12
<b>5. CALCOLO DEI CAMPI ELETTROMAGNETICI</b> .....	.....	12
5.1 CAMPI ELETTROMAGNETICI IMPIANTO FOTOVOLTAICO .....	.....	12
5.1.1. LINEE ELETTRICHE AT IN CORRENTE ALTERNATA INTERRATE A TRIFOGLIO.....	.....	14
5.1.2 CABINE ELETTRICHE AT/BT .....	.....	28
<b>6. CONCLUSIONI DPA</b> .....	.....	33
<b>7. IMPATTI ELETTROMAGNETICI PREVISTI IN FASE DI CANTIERE, ESERCIZIO E RIPRISTINO</b> .....	.....	34
<b>8. DEFINIZIONI</b> .....	.....	36
<b>9. ALLEGATO: DOCUMENTO DI VALIDAZIONE SOFTWARE "MAGIC" DI BESHIELDING</b> .....	.....	42

<b>ARNG SOLAR I S.R.L.</b> Viale Giorgio Ribotta, 21 - 00144 Eurosky Tower Int. 0B3 - Roma (RM) C.F e P.IVA: 02328180688 PEC: <a href="mailto:arngsolar@pec.it">arngsolar@pec.it</a>	<b>IMPIANTO AGRIVOLTAICO ORTA NOVA 36.5</b>		
<b>PROGETTO DEFINITIVO</b>	<b>ORTA NOVA, FOGGIA, PUGLIA</b>	<b>IN-GE-02 Rev. 0</b>	Pag. 3 di 42

## 1. PREMESSA

Scopo del presente documento è quello di descrivere le emissioni elettromagnetiche associate alle infrastrutture elettriche presenti all'interno dell'impianto fotovoltaico in oggetto, ai fini della verifica del rispetto dei limiti della legge n.36/2001e dei relativi Decreti attuativi.

In particolare, per l'impianto sono state valutate le emissioni elettromagnetiche dovuti agli elettrodotti AT e trasformatori (interni al parco fotovoltaico) che rappresentano la principale fonti di emissione. Si sono individuate quindi, in base al DM del MATTM del 29.05.2008, le DPA per le opere sopra dette.

Nel presente studio è stata presa in considerazione le condizioni maggiormente significative e cautelative al fine di valutare la rispondenza ai requisiti di legge dei nuovi elettrodotti. Viene infatti calcolata l'intensità del campo elettromagnetico utilizzando valori di corrente pari alla portata massima di ciascuna linea elettrica in cavo come definito dalla norma CEI 11-17 (quindi condizioni di calcolo molto più gravose di quelle effettive), calcolato sulla verticale dei cavidotti e nelle immediate vicinanze fino ad una distanza compresa tra  $\pm 5$  e massima  $\pm 10$  m dall'asse del cavidotto; la rilevazione del campo magnetico e la determinazione delle DPA per gli elettrodotti interrati è stata fatta cautelativamente alle quote di 0m dal livello del suolo, quando invece la quota nominale cui occorrerebbe fare riferimento nelle misure di campo elettromagnetico è di +1,5m dal livello del suolo. Per le cabine di trasformazione come corrente si è considerata la corrente massima del trasformatore, mentre per le cabine di ricezione come corrente si è utilizzata la corrente presa già in considerazione nello studio dell'elettromagnetismo della linea di connessione.

## 2. DESCRIZIONE SOMMARIA DEGLI IMPIANTI

La presente relazione è di supporto agli interventi di realizzazione del campo fotovoltaico denominato "Impianto Agrivoltaico Orta Nova 36.5".

Il Progetto prevede la realizzazione di un impianto fotovoltaico di potenza pari a 47.880,00 kWp nel comune di Orta Nova (FG), con moduli fotovoltaici in silicio monocristallino con una potenza di picco di 600 Wp posizionati su inseguitori solari (tracker) ed inverter distribuiti con potenza nominale di 215kVA (204kW @40°C) con cabine di trasformazione AT/BT da 3250kVA. Le varie cabine di trasformazione BT/AT saranno raggruppate in dorsali AT che confluiranno nella cabina di ricezione di campo, per mezzo di linee elettriche in cavo interrato elettrificate a 36 kV.

La STMG (C.P. 202102241) prevede che l'impianto verrà collegato in antenna a 36 kV su una futura Stazione Elettrica (SE) di trasformazione

<b>ARNG SOLAR I S.R.L.</b> Viale Giorgio Ribotta, 21 - 00144 Eurosky Tower Int. 0B3 - Roma (RM) C.F e P.IVA: 02328180688 PEC: <a href="mailto:arngsolar@pec.it">arngsolar@pec.it</a>	<b>IMPIANTO AGRIVOLTAICO ORTA NOVA 36.5</b>		
<b>PROGETTO DEFINITIVO</b>	<b>ORTA NOVA, FOGGIA, PUGLIA</b>	<b>IN-GE-02 Rev. 0</b>	Pag. 4 di 42

della RTN a 150/36 kV da collegare con due nuovi elettrodotti RTN a 150 kV a una futura SE RTN a 380/150 kV da inserire in entra-esce alla linea RTN 380 kV "Deliceto – Foggia".

### 3. DOCUMENTI DI RIFERIMENTO

- Raccomandazione del Consiglio dell'Unione Europea del 12 Luglio 1999 relativa alla limitazione dell'esposizione della popolazione ai campi elettromagnetici fino a 300 GHz (n. 1999/519/CE)
- Legge quadro 22 febbraio 2001 n. 36 "Legge quadro sulla protezione dalle esposizioni a campi elettrici, magnetici ed elettromagnetici" [si applica a frequenze comprese tra 0 Hz e 300 GHz];
- DPCM 8 luglio 2003: "Fissazione dei limiti di esposizione, dei valori di attenzione e degli obiettivi di qualità per la protezione della popolazione dalle esposizioni ai campi elettrici e magnetici alla frequenza di rete (50 Hz) generati dagli elettrodotti".
- DM del MATTM del 29.05.2008 "Approvazione della metodologia di calcolo per la determinazione delle fasce di rispetto per gli elettrodotti"
- DM 21 marzo 1988, n. 449 "Approvazione delle norme tecniche per la progettazione, l'esecuzione e l'esercizio delle linee aeree esterne" e s.m.i."
- Rapporto CESI-ISMES A7034603 "Linee Guida per l'uso della piattaforma di calcolo - EMF Tools v. 3.0".
- Rapporto CESI-ISMES A8021317 "Valutazione teorica e sperimentale della fascia di rispetto per cabine primarie".
- DL 9 aprile 2008 n° 81 "Testo unico sulla sicurezza sul lavoro"
- Norma CEI 106-11 "Guida per la determinazione delle fasce di rispetto per gli elettrodotti secondo le disposizioni del DPCM 8 luglio 2003 (Art. 6). Parte 1: Linee elettriche aeree e in cavo."
- Norma CEI 211-4 "Guida ai metodi di calcolo dei campi elettrici e magnetici generati da linee e da stazioni elettriche" Seconda edizione, 2008.
- CEI 11-60 "Portata al limite termico delle linee elettriche esterne con tensione maggiore di 100 kV".
- Norma CEI 0-2 "Guida per la definizione della documentazione di progetto degli impianti elettrici"

<b>ARNG SOLAR I S.R.L.</b> Viale Giorgio Ribotta, 21 - 00144 Eurosky Tower Int. 0B3 - Roma (RM) C.F e P.IVA: 02328180688 PEC: <a href="mailto:arngsolar@pec.it">arngsolar@pec.it</a>	<b>IMPIANTO AGRIVOLTAICO  ORTA NOVA 36.5</b>		
<b>PROGETTO DEFINITIVO</b>	<b>ORTA NOVA, FOGGIA,  PUGLIA</b>	<b>IN-GE-02  Rev. 0</b>	Pag. 5 di 42

#### 4. NORMATIVA DI RIFERIMENTO

Tra i principali riferimenti normativi in materia di protezione dalle esposizioni a campi elettrici, magnetici ed elettromagnetici generati da linee elettriche aeree in corrente alternata è utile ricordare le Linee Guida dell'ICNIRP, in particolare:

- Linee Guida per la limitazione dell'esposizione a campi elettrici e magnetici variabili nel tempo (1Hz – 100 KHz) (2010), che hanno sostituito le precedenti Linee Guida del 1992 introducendo nuovi limiti basati sul campo elettrico indotto e non più sulla corrente elettrica indotta.

Con riferimento all'esposizione della popolazione, è utile menzionare a livello europeo la "Raccomandazione del Consiglio dell'Unione Europea del 12 Luglio 1999 relativa alla limitazione dell'esposizione della popolazione ai campi elettromagnetici fino a 300 GHz (n. 1999/519/CE)" che ha recepito le Linee Guida dell'ICNIRP fino a quel momento emesse, oggi sostituite dalle più recenti, (Linee Guida per la limitazione dell'esposizione a campi elettrici e magnetici variabili nel tempo del 1998) chiedendo agli Stati membri che le disposizioni nazionali relative alla protezione dall'esposizione ai campi elettromagnetici si uniformassero alle stesse.

Come precisa la stessa Raccomandazione, i limiti derivati sulla base degli effetti a breve termine provati, adottano fattori di sicurezza pari a 50 che implicitamente tutelano anche da possibili effetti a lungo termine, ad oggi non provati.

A livello nazionale il quadro normativo è rappresentato da:

- Legge quadro 22 febbraio 2001 n. 36 "Legge quadro sulla protezione dalle esposizioni a campi elettrici, magnetici ed elettromagnetici" [si applica a frequenze comprese tra 0 Hz e 300 GHz];
- DPCM 8 luglio 2003 "Fissazione dei limiti di esposizione, dei valori di attenzione e degli obiettivi di qualità per la protezione della popolazione dalle esposizioni ai campi elettrici e magnetici alla frequenza di rete (50Hz) generati dagli elettrodotti";
- Decreto 29 maggio 2008 "Approvazione della metodologia di calcolo per la determinazione delle fasce di rispetto per gli elettrodotti" [si applica alle linee esercite alla frequenza di rete (50Hz)].

##### 4.1 LIMITI DI RIFERIMENTO

Nel DPCM 8 Luglio 2003 "Fissazione dei limiti di esposizione, dei valori di attenzione e degli obiettivi di qualità per la protezione della popolazione dalle esposizioni ai campi elettrici e magnetici alla frequenza di rete (50 Hz) generati dagli elettrodotti", vengono fissati i limiti di esposizione e i valori di attenzione, per la protezione della popolazione dalle esposizioni a campi

<b>ARNG SOLAR I S.R.L.</b> Viale Giorgio Ribotta, 21 - 00144 Eurosky Tower Int. 0B3 - Roma (RM) C.F e P.IVA: 02328180688 PEC: <a href="mailto:arngsolar@pec.it">arngsolar@pec.it</a>	<b>IMPIANTO AGRIVOLTAICO ORTA NOVA 36.5</b>		
<b>PROGETTO DEFINITIVO</b>	<b>ORTA NOVA, FOGGIA, PUGLIA</b>	<b>IN-GE-02 Rev. 0</b>	Pag. 6 di 42

elettrici e magnetici alla frequenza di rete (50 Hz) connessi al funzionamento e all'esercizio degli elettrodotti.

I valori limite cui fare riferimento sono quelli indicati dal D.P.C.M. 08 luglio 2003 per le esposizioni ai campi elettrici e magnetici alla frequenza di rete (50 Hz) generati da elettrodotti sono:

Tipo di campo	Limiti di esposizione	Valore di attenzione	Obiettivi di qualità
Elettrico	5 kV/m	Non previsto	Non previsto
Magnetico	100 $\mu$ T	10 $\mu$ T	3 $\mu$ T

**Fig.1 – Valori limite di esposizione (D.P.C.M. 08/07/2003)**

1. valore limite di esposizione al campo elettrico ed all'induzione magnetica rispettivamente pari a 5 kV/m e 100  $\mu$ T;
2. valore di attenzione per l'induzione magnetica pari a 10  $\mu$ T, da adottare nelle aree gioco per l'infanzia, in ambienti abitativi, in ambienti scolastici e nei luoghi adibiti a permanenza non inferiore a quattro ore giornaliere;
3. valore per l'obiettivo di qualità: nella progettazione di nuovi elettrodotti in corrispondenza di aree gioco per l'infanzia, di ambienti abitativi, di ambienti scolastici e di luoghi adibiti a permanenza non inferiore a quattro ore giornaliere, si assume per l'induzione magnetica il valore di 3  $\mu$ T, da intendersi come mediana dei valori nell'arco delle 24 ore nelle normali condizioni di esercizio.

I limiti di esposizione sono stati introdotti a tutela della salute umana contro l'insorgenza degli effetti acuti, immediatamente conseguenti all'esposizione, mentre i valori di attenzione e gli obiettivi di qualità hanno l'intento di tutelare la popolazione da eventuali effetti sulla salute a lungo termine.

Di seguito un prospetto dei limiti attualmente vigenti:

f (Hz)	ICNIRP (2010)		Racc.Cons.Europeo 12/07/99		D.Lgs 36/01 + DPCM 8/07/2003	
	E (kV/m)	B ( $\mu$ T)	E (kV/m)	B ( $\mu$ T)	E (kV/m)	B ( $\mu$ T)
50	5	200	5	100	5	100 (1) 10 (2) 3 (3)

(1) limite di esposizione (2) valore di attenzione (3) obiettivo di qualità

**Fig.2 – Valori limite di esposizione vigenti**

<b>ARNG SOLAR I S.R.L.</b> Viale Giorgio Ribotta, 21 - 00144 Eurosky Tower Int. 0B3 - Roma (RM) C.F e P.IVA: 02328180688 PEC: <a href="mailto:arngsolar@pec.it">arngsolar@pec.it</a>	<b>IMPIANTO AGRIVOLTAICO ORTA NOVA 36.5</b>		
<b>PROGETTO DEFINITIVO</b>	<b>ORTA NOVA, FOGGIA, PUGLIA</b>	<b>IN-GE-02 Rev. 0</b>	Pag. 7 di 42

Si segnala come i valori di attenzione e gli obiettivi di qualità stabiliti dal Legislatore italiano siano rispettivamente 10 e 33 volte più bassi di quelli internazionali.

I dati si basano su innumerevoli misurazioni concordi nel sostenere che il campo elettrico generato dalle ELF è indistinguibile da quello di fondo a distanza di 50 m dagli impianti di trasformazione o dalla rete di distribuzione che lo hanno generato.

#### 4.2 OBIETTIVO DI QUALITÀ, FASCIA DI RISPETTO E DPA

L'obiettivo di qualità si applica nel caso di progettazione di nuovi elettrodotti in prossimità di insediamenti esistenti, o nel caso di progettazione di nuovi insediamenti in prossimità di elettrodotti esistenti.

Con riferimento agli elettrodotti eserciti alla frequenza di rete, 50 Hz, e con specifico riferimento all'obiettivo di qualità, sono introdotti i concetti di Fascia di rispetto e di Distanza di prima approssimazione (DPA).

Come definita dalla norma CEI 106-11, Fascia di rispetto "È lo spazio circostante i conduttori di una linea elettrica aerea, o in cavo interrato, che comprende tutti i punti, al di sopra e al di sotto del livello del suolo, caratterizzati da un'induzione magnetica di intensità maggiore o uguale ad un valore prefissato, in particolare all'obiettivo di qualità."

Come meglio specifica il DPCM 8 luglio 2003 [art.6], "per la determinazione delle fasce di rispetto si dovrà fare riferimento all'obiettivo di qualità ... ed alla portata in corrente in servizio normale dell'elettrodotto, come definita dalla norma CEI 11-60".

Come previsto dallo stesso art.6 del DPCM 8 luglio 2003, la metodologia di calcolo per la determinazione delle fasce di rispetto è stata definita dall'APAT, sentite le ARPA, ed approvata dal Ministero dell'ambiente e della tutela del territorio con Decreto 29 Maggio 2008 - "Approvazione della metodologia di calcolo per la determinazione delle fasce di rispetto per gli elettrodotti".

Come specificato al par.3.2, tale metodologia, ...ai sensi dell'art. 6 comma 2 del DPCM 08.07.03, ha lo scopo di fornire la procedura da adottarsi per la determinazione delle fasce di rispetto pertinenti alle linee elettriche aeree e interrate, esistenti e in progetto.

I riferimenti contenuti nell'art. 6 del DPCM 8 luglio 2003 implicano che le fasce di rispetto debbano attribuirsi ove sia applicabile l'obiettivo di qualità: "Nella progettazione di nuovi elettrodotti in corrispondenza di aree gioco per l'infanzia, di ambienti abitativi, di ambienti scolastici e di luoghi adibiti a permanenze non inferiori a quattro ore e nella progettazione dei nuovi

<b>ARNG SOLAR I S.R.L.</b> Viale Giorgio Ribotta, 21 - 00144 Eurosky Tower Int. 0B3 - Roma (RM) C.F e P.IVA: 02328180688 PEC: <a href="mailto:arngsolar@pec.it">arngsolar@pec.it</a>	<b>IMPIANTO AGRIVOLTAICO  ORTA NOVA 36.5</b>		
<b>PROGETTO DEFINITIVO</b>	<b>ORTA NOVA, FOGGIA,  PUGLIA</b>	<b>IN-GE-02  Rev. 0</b>	Pag. <b>8</b> di <b>42</b>

insediamenti e delle nuove aree di cui sopra in prossimità di linee ed installazioni già presenti nel territorio.” (art. 4 del DM 8 luglio 2003)

Il concetto di Distanza di prima approssimazione (DPA), introdotto dal Decreto 29 Maggio 2008 (che ne riporta anche la definizione: “per le linee è la distanza, in pianta sul livello del suolo, dalla proiezione del centro linea che garantisce che ogni punto la cui proiezione al suolo disti dalla proiezione del centro linea più di DPA si trovi all’esterno delle fasce di rispetto...)” è stato introdotto al fine di semplificare la gestione territoriale e procedere in prima approssimazione al calcolo delle fasce di rispetto senza dover ricorrere a complessi modelli di calcolo bidimensionale o tridimensionale, il Decreto prevede infatti anche dei metodi semplificati da poter applicare nel caso di parallelismo o incrocio di linee elettriche aeree.

Le DPA permettono, nella maggior parte delle situazioni, una valutazione esaustiva dell’esposizione ai campi magnetici. La valutazione delle DPA va fatta, in relazione alla geometria dei conduttori e alla portata di corrente in servizio normale, in riferimento ai seguenti componenti:

- A) linee AT e Cabine Primarie (CP);
- B) linee MT e Cabine Secondarie (CS).

Anche per casi complessi, individuati dal suddetto paragrafo 5.1.3 del Decreto 29 maggio 2008 (parallelismi, incroci tra linee, derivazioni o cambi di direzioni) è previsto un procedimento semplificato che permette di individuare aree di prima approssimazione (secondo quanto previsto nel successivo paragrafo 5.1.4), che hanno la medesima valenza delle DPA.

Si precisa, inoltre, che secondo quanto previsto dal Decreto 29 maggio 2008, la tutela in merito alle fasce di rispetto di cui all’art. 6 del DPCM 8 luglio 2003 si applica alle linee elettriche aeree ed interrate, esistenti ed in progetto ad esclusione di:

- linee esercite a frequenza diversa da quella di rete di 50 Hz (ad esempio linee di alimentazione dei mezzi di trasporto);
- linee di classe zero ai sensi del DM 21 marzo 1988, n. 449 (come le linee di telecomunicazione);
- linee di prima classe ai sensi del DM 21 marzo 1988, n. 449 (quali le linee di bassa tensione);
- linee di Media Tensione in cavo cordato ad elica (interrate o aeree);

in quanto le relative fasce di rispetto hanno un’ampiezza ridotta, inferiore alle distanze previste dal DM 21 marzo 1988, n. 449 e dalla Norma CEI EN 50341-2-13 “Linee elettriche aeree con tensione superiore a 1 kV in c.a. – Parte 2-13: Aspetti Normativi Nazionali (NNA) per l’Italia (basati sulla EN 50341-1: 2012).

<b>ARNG SOLAR I S.R.L.</b> Viale Giorgio Ribotta, 21 - 00144 Eurosky Tower Int. 0B3 - Roma (RM) C.F e P.IVA: 02328180688 PEC: <a href="mailto:arngsolar@pec.it">arngsolar@pec.it</a>	<b>IMPIANTO AGRIVOLTAICO  ORTA NOVA 36.5</b>		
<b>PROGETTO DEFINITIVO</b>	<b>ORTA NOVA, FOGGIA,  PUGLIA</b>	<b>IN-GE-02  Rev. 0</b>	Pag. 9 di 42

Si evidenzia infine che le fasce di rispetto (comprese le correlate DPA) non sono applicabili ai luoghi tutelati esistenti in vicinanza di elettrodotti esistenti. In tali casi, l'unico vincolo legale è quello del non superamento del valore di attenzione del campo magnetico (10  $\mu$ T da intendersi come mediana dei valori nell'arco delle 24 ore nelle normali condizioni di esercizio); solo ove tale valore risulti superato, si applicheranno le disposizioni dell'art. 9 della Legge 36/2001.

#### 4.3 METODOLOGIA DI CALCOLO DELLE FASCE DI RISPETTO / DPA

Il DPCM 8 luglio 2003, all'art. 6, prevede che il proprietario/gestore dell'elettrodotto comunichi alle autorità competenti l'ampiezza delle fasce di rispetto ed i dati utilizzati per il calcolo dell'induzione magnetica, che va eseguito, ai sensi del paragrafo 5.1.2 dell'allegato al Decreto 29 maggio 2008 (G.U. n. 156 del 5 luglio 2008), sulla base delle caratteristiche geometriche, meccaniche ed elettriche della linea, tenendo conto della presenza di eventuali altri elettrodotti. Detto calcolo delle fasce di rispetto va eseguito utilizzando modelli:

1. bidimensionali (2D), se sono rispettate le condizioni di cui al paragrafo 6.1 della norma CEI 106-11 Parte I;
2. tridimensionali (3D), in tutti gli altri casi.

Al fine di agevolare la gestione territoriale ed il calcolo delle fasce di rispetto il Decreto introduce una procedura semplificata (paragrafo 5.1.3), per il calcolo della DPA ai sensi della CEI 106-11 che fa riferimento ad un modello bidimensionale semplificato, valido per conduttori orizzontali paralleli, secondo il quale il proprietario /gestore deve:

1. calcolare la fascia di rispetto combinando la configurazione dei conduttori, geometrica e di fase, e la portata in corrente in servizio normale che forniscono il risultato più cautelativo sull'intero tronco di linea (la configurazione ottenuta potrebbe non corrispondere ad alcuna campata reale);
2. proiettare al suolo verticalmente tale fascia;
3. comunicare l'estensione rispetto alla proiezione al centro linea: tale distanza (DPA) sarà adottata in modo costante lungo il tronco.

Le dimensioni delle fasce di rispetto devono essere fornite con una approssimazione non superiore a 1 m.

Nei casi complessi, quali parallelismi, incroci tra linee o derivazioni e cambi di direzione, il Decreto sopraccitato introduce, al paragrafo 5.1.4, la possibilità per il proprietario/gestore di individuare l'Area di Prima Approssimazione (che ha la stessa valenza della DPA - paragrafo 5.1.3), da fornire alle autorità competenti:

- in fase di progettazione di nuovi elettrodotti;

<b>ARNG SOLAR I S.R.L.</b> Viale Giorgio Ribotta, 21 - 00144 Eurosky Tower Int. 0B3 - Roma (RM) C.F e P.IVA: 02328180688 PEC: <a href="mailto:arngsolar@pec.it">arngsolar@pec.it</a>	<b>IMPIANTO AGRIVOLTAICO ORTA NOVA 36.5</b>		
<b>PROGETTO DEFINITIVO</b>	<b>ORTA NOVA, FOGGIA, PUGLIA</b>	<b>IN-GE-02 Rev. 0</b>	Pag. <b>10</b> di <b>42</b>

- su richiesta puntuale delle medesime autorità competenti per il rilascio di autorizzazioni alla realizzazione di nuovi luoghi tutelati in prossimità di elettrodotti esistenti.

In fase di progettazione di nuovi elettrodotti in prossimità di luoghi tutelati, allorquando risulti che la DPA relativa all'impianto da realizzare includa, se pur parzialmente, tali luoghi, per una corretta valutazione si dovrà procedere al calcolo esatto della fascia di rispetto lungo le necessarie sezioni, tenendo conto della portata in corrente in servizio normale dichiarata nel procedimento autorizzativo.

In fase di progettazione di nuovi luoghi tutelati, allorquando dette realizzazioni si dovessero trovare, se pur parzialmente, all'interno della DPA, le autorità competenti potranno chiedere al proprietario/gestore il calcolo esatto della fascia di rispetto lungo le necessarie sezioni, al fine di consentire una corretta valutazione.

In entrambi i casi, qualora la fascia di rispetto, ottenuta con calcolo esatto, includa, se pur parzialmente, il luogo tutelato si dovrà prevedere una variante al progetto, in quella specifica sezione, che non presenti luoghi tutelati all'interno della fascia di rispetto.

Il calcolo sarà effettuato con modello bidimensionale (2D), se rispettate le condizioni di cui alla CEI 106-11, o con modello tridimensionale (3D) in caso contrario. La determinazione della fascia di rispetto è finalizzata alla definizione del volume, attorno ai conduttori, al cui interno si potrebbe avere una induzione magnetica superiore a 3  $\mu$ T e non all'individuazione della proiezione verticale al suolo di detto volume, come invece definito in maniera semplificata dalla procedura di calcolo della DPA. Pertanto, il calcolo richiesto dalle autorità competenti va effettuato soltanto in corrispondenza della sezione di interesse, ovvero interferente con un luogo tutelato di cui all'art. 4 c. 1 lettera h) della Legge 36/2001.

#### 4.4 CALCOLO DELLE FASCE DI RISPETTO IN BASE AL MODELLO PREVISTO DALLA NORMA CEI 211-4

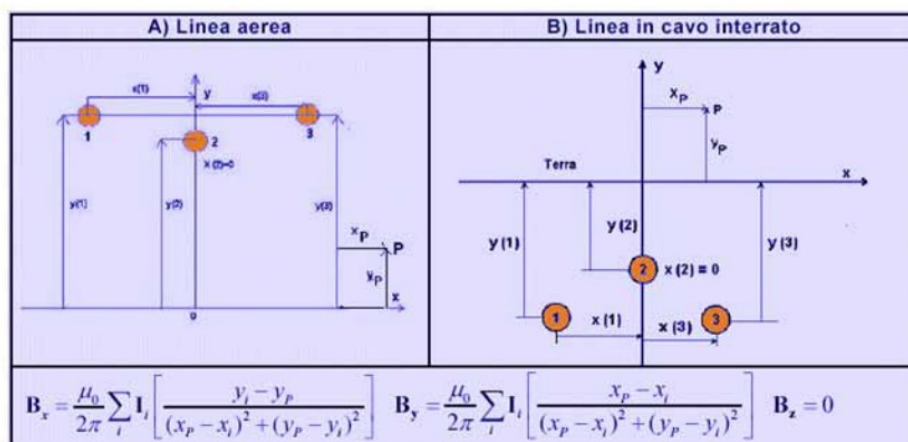
Per il calcolo accurato delle fasce di rispetto, occorre conoscere i seguenti dati:

- La portata in corrente in servizio normale (da richiedere all'ente gestore; indicazioni si possono trarre dalla norma CEI 11-60);
- Il numero e la tipologia (diametro, materiali) dei conduttori aerei o dei cavi interrati, oltre alla loro geometria;
- Le condizioni di fase relativa alle correnti nei conduttori;
- L'altezza dei conduttori all'attacco ai sostegni, la lunghezza della campata ed il parametro di posa della catenaria (allo scopo di definirne la geometria).

<b>ARNG SOLAR I S.R.L.</b> Viale Giorgio Ribotta, 21 - 00144 Eurosky Tower Int. 0B3 - Roma (RM) C.F e P.IVA: 02328180688 PEC: <a href="mailto:arngsolar@pec.it">arngsolar@pec.it</a>	<b>IMPIANTO AGRIVOLTAICO ORTA NOVA 36.5</b>		
<b>PROGETTO DEFINITIVO</b>	<b>ORTA NOVA, FOGGIA, PUGLIA</b>	<b>IN-GE-02 Rev. 0</b>	Pag. <b>11</b> di <b>42</b>

Gli ultimi dati possono essere dedotti anche da una misura strumentale diretta, cioè rilievi topografici.

Il modello di calcolo previsto dalla norma CEI 211-4 è quello previsto dalla legge di Biot e Savart, il quale prevede il calcolo dell'induzione magnetica su un piano trasversale alla linea (aerea o anche interrata), quindi un modello su due soli dimensioni. Tale modello prevede il calcolo dell'induzione magnetica di ciascun conduttore percorso da corrente e l'applicazione successiva della sovrapposizione degli effetti per determinare l'induzione magnetica totale. Le ipotesi su cui si fonda il calcolo sono che i conduttori siano considerati rettilinei, orizzontali, di lunghezza infinita e paralleli fra loro, che le correnti siano considerate concentrate negli assi centrali dei conduttori, che non vengono prese in considerazione le correnti indotte nelle funi di guardia (linee aeree) o negli schermi (linee in cavo interrato), e che il suolo sia perfettamente trasparente dal punto di vista magnetico.



**Fig.3 – Formule per la determinazione delle componenti sugli assi dell'induzione magnetica B (C.932)**

Le formule da utilizzare sono indicate, per i due tipi di elettrodotto, in figura. Una volta ottenute le componenti sul piano  $B_x$  e  $B_y$  (il modello è, come detto, bidimensionale e quindi la componente  $B_z$  è nulla), si applica la seguente formula per determinare l'induzione magnetica complessiva:

$$B = \sqrt{B_x^2 + B_y^2 + B_z^2}$$

Per i calcoli ci si appoggia normalmente a software in grado di applicare rapidamente le formule ed eventualmente anche di visualizzarne graficamente il risultato.

La modellizzazione delle sorgenti fa riferimento alla normativa tecnica CEI 211-4 ed è bidimensionale per le linee elettriche e tridimensionale per le

<b>ARNG SOLAR I S.R.L.</b> Viale Giorgio Ribotta, 21 - 00144 Eurosky Tower Int. 0B3 - Roma (RM) C.F e P.IVA: 02328180688 PEC: <a href="mailto:arngsolar@pec.it">arngsolar@pec.it</a>	<b>IMPIANTO AGRIVOLTAICO ORTA NOVA 36.5</b>		
<b>PROGETTO DEFINITIVO</b>	<b>ORTA NOVA, FOGGIA, PUGLIA</b>	<b>IN-GE-02 Rev. 0</b>	Pag. 12 di 42

cabine elettriche. Per la determinazione delle DPA si fa riferimento alla portata in corrente in servizio normale dell'elettrodotto.

#### 4.5 CALCOLO DELLE FASCE DI RISPETTO IN BASE AD UN MODELLO APPROSSIMATO

Il modello approssimato propone una serie di formule analitiche, applicabili senza l'uso di software, che permettono il calcolo immediato dell'induzione magnetica ad una data distanza dal baricentro dei conduttori della linea elettrica. Risultano formule molto utili per effettuare analisi approssimate (ma piuttosto precise) e soprattutto immediate delle fasce di rispetto. Tali formule, a causa della loro origine, hanno una validità tanto maggiore quanto più è elevata la distanza dai conduttori.

### 5. CALCOLO DEI CAMPI ELETTROMAGNETICI

L'impianto è progettato e sarà costruito in modo da rispettare i valori di campo elettrico e magnetico, previsti dalla normativa statale vigente.

#### 5.1 CAMPI ELETTROMAGNETICI IMPIANTO FOTOVOLTAICO

##### Moduli fotovoltaici

I moduli fotovoltaici lavorano in corrente e tensione continue e non in corrente alternata; per cui la generazione di campi variabili è limitata ai soli transitori di corrente (durante la ricerca del MPP da parte dell'inverter, e durante l'accensione o lo spegnimento) e sono comunque di brevissima durata.

Nella certificazione dei moduli fotovoltaici alla norma CEI 82-8 (IEC 61215) non sono comunque menzionate prove di compatibilità elettromagnetica, poiché assolutamente irrilevanti.

##### Inverter

Gli inverter sono apparecchiature che al loro interno utilizzano un trasformatore ad alta frequenza per ridurre le perdite di conversione. Essi, pertanto, sono costituiti per loro natura da componenti elettronici operanti ad alte frequenze. D'altro canto, il legislatore ha previsto che tali macchine, prima di essere immesse sul mercato, possiedano le necessarie certificazioni a garantirne sia l'immunità dai disturbi elettromagnetici esterni, sia le ridotte emissioni per minimizzarne l'interferenza elettromagnetica con altre apparecchiature elettroniche posizionate nelle vicinanze o con la rete elettrica stessa (via cavo).

<b>ARNG SOLAR I S.R.L.</b> Viale Giorgio Ribotta, 21 - 00144 Eurosky Tower Int. 0B3 - Roma (RM) C.F e P.IVA: 02328180688 PEC: <a href="mailto:arngsolar@pec.it">arngsolar@pec.it</a>	<b>IMPIANTO AGRIVOLTAICO ORTA NOVA 36.5</b>		
<b>PROGETTO DEFINITIVO</b>	<b>ORTA NOVA, FOGGIA, PUGLIA</b>	<b>IN-GE-02 Rev. 0</b>	Pag. 13 di 42

A questo scopo gli inverter prescelti possiedono la certificazione di rispondenza alle normative di compatibilità elettromagnetica (EMC) (CEI EN 50273, (CEI 95-9), CEI EN 61000-6-3 (CEI 210-65), CEI EN 61000-2-2 (CEI 110-10), CEI EN 61000-3-2 (CEI 110-31), CEI EN 61000-3-3 (CEI 110-28), CEI EN 55022 (CEI 110-5), CEI EN 55011 (CEI 110-6)).

Tra gli altri aspetti queste norme riguardano:

- i livelli armonici: le direttive del gestore di rete prevedono un THD globale (non riferito al massimo della singola armonica) inferiore al 5% (inferiore all'8% citato nella norma CEI 110-10). Gli inverter presentano un THD globale contenuto entro il 3%.
- Disturbi alle trasmissioni di segnale operate dal gestore di rete in super imposizione alla trasmissione di energia sulle sue linee;
- Variazioni di tensione e frequenza. La propagazione in rete di queste ultime è limitata dai relè di controllo della protezione di interfaccia asservita al dispositivo di interfaccia. Le fluttuazioni di tensione e frequenze sono però causate per lo più dalla rete stessa. Si rendono quindi necessarie finestre abbastanza ampie, per evitare una continua inserzione e disinserzione dell'impianto fotovoltaico.

### Linee elettriche BT e dati

Secondo quanto previsto dal Decreto 29 maggio 2008 (paragrafo 3.2), la tutela in merito alle fasce di rispetto di cui all'art. 6 del DPCM 8 luglio 2003 le linee elettriche aeree ed interrate di prima classe ai sensi del DM 21 marzo 1988 n. 449 (quali le linee di bassa tensione) o classe zero (come le linee di telecomunicazione) sono escluse dall'osservanza di fasce di rispetto, in quanto le relative fasce di rispetto hanno un'ampiezza ridotta, inferiore alle distanze previste dal DM 21 marzo 1988, n. 449 e s.m.i.

### Linee elettriche AT in corrente alternata

Per quanto riguarda il valore del campo elettrico, trattandosi di linee interrate, esso è da ritenersi insignificante grazie anche all'effetto schermante del rivestimento del cavo e del terreno.

Per quanto riguarda il valore del campo magnetico è stato effettuato utilizzando il software "Magic" di BESHielding di cui riportiamo in allegato il documento di validazione. Il software permette di calcolare i campi magnetici generati da sorgenti di tipo elettrico, quali trasformatori, sistemi di linee elettriche, cabine AT/BT, buche giunti, blindosbarre e impianti elettrici. Il software permette inoltre di determinare le fasce di rispetto per linee elettriche e cabine AT/BT, secondo quanto previsto dalla Legge Quadro n. 36/2001 (esposizione ai campi magnetici della popolazione) e dal D.Lgs. n. 81/08 (valutazione dei rischi in ambiente lavorativo). Permette inoltre di studiare le singole sorgenti (linee elettriche, cavi, sistemi multiconduttori,

<b>ARNG SOLAR I S.R.L.</b> Viale Giorgio Ribotta, 21 - 00144 Eurosky Tower Int. 0B3 - Roma (RM) C.F e P.IVA: 02328180688 PEC: <a href="mailto:arngsolar@pec.it">arngsolar@pec.it</a>	<b>IMPIANTO AGRIVOLTAICO ORTA NOVA 36.5</b>		
<b>PROGETTO DEFINITIVO</b>	<b>ORTA NOVA, FOGGIA, PUGLIA</b>	<b>IN-GE-02 Rev. 0</b>	Pag. <b>14</b> di <b>42</b>

trasformatori) mediante configurazioni bidimensionali e tridimensionali attraverso l'integrazione della legge di Biot-Savart o lo studio di sistemi complessi, come le cabine elettriche AT/BT, tenendo conto della tridimensionalità delle sorgenti, della loro reale posizione e della sovrapposizione degli effetti delle diverse componenti.

L'intensità del campo elettromagnetico è stata calcolata utilizzando valori di corrente pari alla portata massima di ciascuna linea elettrica in cavo (quindi condizioni di calcolo molto più gravose di quelle effettive), calcolato sulla verticale dei cavidotti e nelle immediate vicinanze fino ad una distanza tra  $\pm 5$  e  $\pm 10$  m dall'asse del cavidotto; la rilevazione del campo magnetico e la determinazione delle DPA è stata fatta cautelativamente alle quote di 0m dal livello del suolo, quando invece la quota nominale cui occorrerebbe fare riferimento nelle misure di campo elettromagnetico è di +1,5m dal livello del suolo.

È stata eseguita una valutazione per tutte le tipologie di tratte presenti nel progetto in base al numero e tipologia di terne (sempre con formazione trifoglio) che coesistono nella medesima trincea con profondità di 1 metro.

### 5.1.1. LINEE ELETTRICHE AT IN CORRENTE ALTERNATA INTERRATE A TRIFOGLIO

Tratta Tipo	Tipologia terne	Induzione magnetica (centro trincea al suolo):	Obiettivo qualità 3 $\mu$ T e DPA
ON-1	CAVO AT 26/45 kV 3x(1x70mm <sup>2</sup> )	0.85 $\mu$ T	-
ON-2	CAVO AT 26/45 kV 3x(1x95mm <sup>2</sup> )	1.12 $\mu$ T	-
ON-3	CAVO AT 26/45 kV 3x(1x120mm <sup>2</sup> )	1.33 $\mu$ T	-
ON-4	CAVO AT 26/45 kV 3x(1x185mm <sup>2</sup> )	1.84 $\mu$ T	-
ON-4-1	CAVO AT 26/45 kV 3x(1x185mm <sup>2</sup> )	1.35 $\mu$ T	-
ON-5	CAVO AT 26/45 kV 3x(1x400mm <sup>2</sup> )	2.62 $\mu$ T	-
ON-6	CAVO AT 26/45 kV 3x(1x70mm <sup>2</sup> ) CAVO AT 26/45 kV 3x(1x95mm <sup>2</sup> )	1.91 $\mu$ T	-
ON-7	CAVO AT 26/45 kV 3x(1x95mm <sup>2</sup> ) CAVO AT 26/45 kV 3x(1x120mm <sup>2</sup> )	2.37 $\mu$ T	-
ON-7-1	CAVO AT 26/45 kV 3x(1x95mm <sup>2</sup> ) CAVO AT 26/45 kV 3x(1x120mm <sup>2</sup> )	1.75 $\mu$ T	-
ON-8	CAVO AT 26/45 kV 3x(1x70mm <sup>2</sup> ) CAVO AT 26/45 kV 3x(1x95mm <sup>2</sup> ) CAVO AT 26/45 kV 3x(1x120mm <sup>2</sup> ) CAVO AT 26/45 kV 3x(1x400mm <sup>2</sup> )	5.36 $\mu$ T	1.73 m $\approx$ 2 m

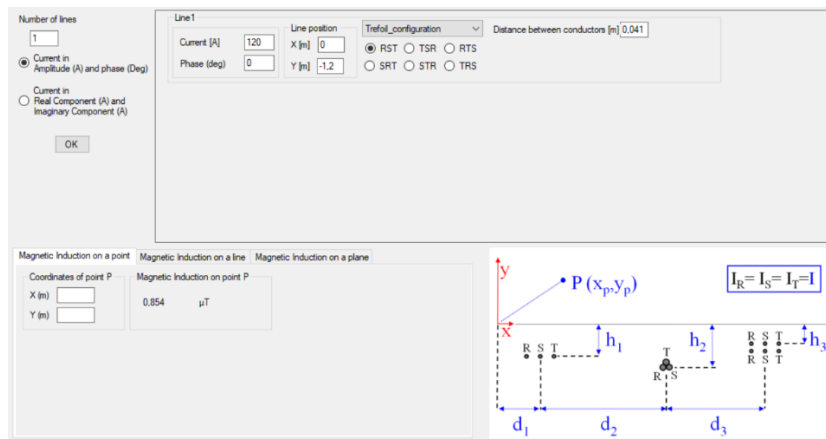
<b>ARNG SOLAR I S.R.L.</b> Viale Giorgio Ribotta, 21 - 00144 Eurosky Tower Int. 0B3 - Roma (RM) C.F e P.IVA: 02328180688 PEC: <a href="mailto:arngsolar@pec.it">arngsolar@pec.it</a>	<b>IMPIANTO AGRIVOLTAICO ORTA NOVA 36.5</b>		
<b>PROGETTO DEFINITIVO</b>	<b>ORTA NOVA, FOGGIA, PUGLIA</b>	<b>IN-GE-02 Rev. 0</b>	Pag. 15 di 42

ON-9	CAVO AT 26/45 kV 3x(1x95mm <sup>2</sup> ) CAVO AT 26/45 kV 2x(3x(1x120mm <sup>2</sup> )) CAVO AT 26/45 kV 3x(1x400mm <sup>2</sup> )	5.89 μT	1.51 m ≈ 2 m
ON-10	CAVO AT 26/45 kV 3x(1x70mm <sup>2</sup> ) CAVO AT 26/45 kV 2x(3x(1x120mm <sup>2</sup> )) CAVO AT 26/45 kV 3x(1x400mm <sup>2</sup> )	6.39 μT	1.59 m ≈ 2 m
ON-11	CAVO AT 26/45 kV 3x(1x95mm <sup>2</sup> ) CAVO AT 26/45 kV 3x(1x120mm <sup>2</sup> ) CAVO AT 26/45 kV 2x(3x(1x185mm <sup>2</sup> )) CAVO AT 26/45 kV 3x(1x400mm <sup>2</sup> )	8.21 μT	1.85 m ≈ 2 m

**Tratta:** TIPO ON-1

**Tipologia terne:** CAVO AT 26/45 kV 3x(1x70mm<sup>2</sup>)

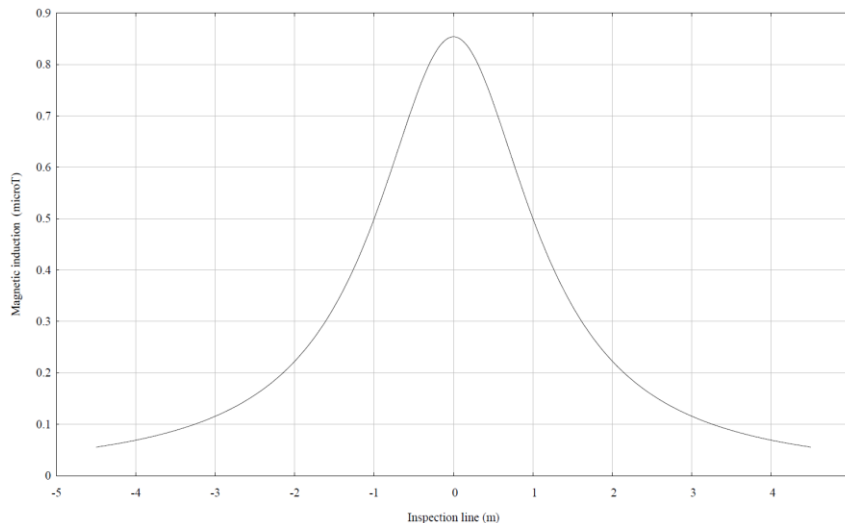
**Induzione magnetica (centro trincea al suolo):** 0.85 μT



Number of lines: 1

Line 1: Current [A] 120, Phase (deg) 0, Line position X [m] 0, Y [m] -1.2, Trefol\_configuration: RST, Distance between conductors [m] 0.041

Magnetic Induction on a line: 0.854 μT



<b>ARNG SOLAR I S.R.L.</b> Viale Giorgio Ribotta, 21 - 00144 Eurosky Tower Int. 0B3 - Roma (RM) C.F e P.IVA: 02328180688 PEC: <a href="mailto:arngsolar@pec.it">arngsolar@pec.it</a>	<b>IMPIANTO AGRIVOLTAICO          ORTA NOVA 36.5</b>		
<b>PROGETTO DEFINITIVO</b>	<b>ORTA NOVA, FOGGIA,          PUGLIA</b>	<b>IN-GE-02          Rev. 0</b>	Pag. <b>16</b> di <b>42</b>

**Tratta:** TIPO ON-2

**Tipologia terne:** CAVO AT 26/45 kV 3x(1x95mm<sup>2</sup>)

**Induzione magnetica (centro trincea al suolo):** 1.12  $\mu$ T

Number of lines  
1

Current in Amplitude (A) and phase (Deg)

Current in Real Component (A) and Imaginary Component (A)

OK

Line 1

Current [A] 154    Line position X [m] 0    Trefol\_configuration    Distance between conductors [m] 0.042

Phase (deg) 0    Y [m] -1.2

RST    TSR    RTS  
 SRT    STR    TRS

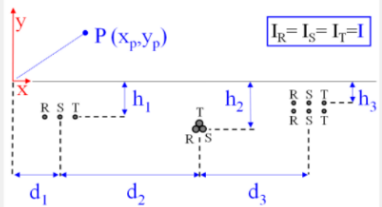
---

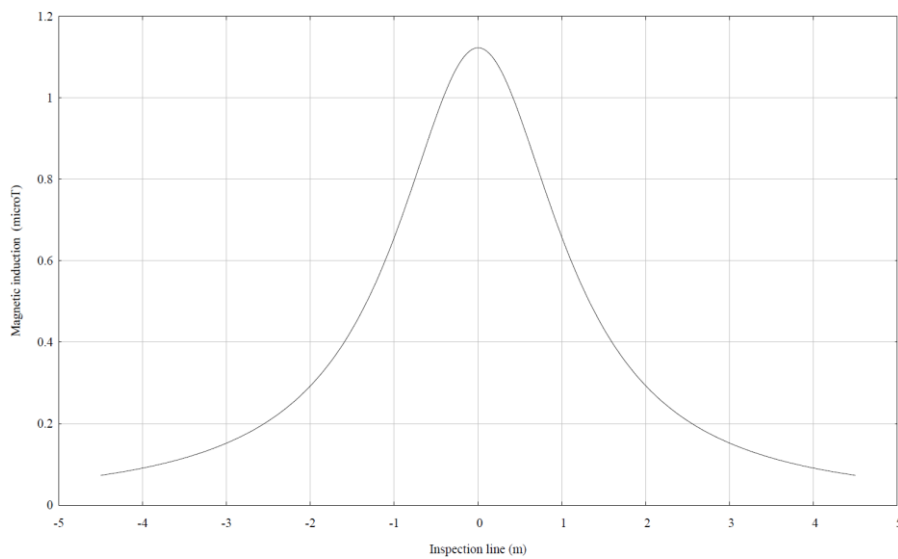
Magnetic Induction on a point

Coordinates of point P  
X (m)    Y (m)

Magnetic Induction on a line

Magnetic Induction on point P: 1.123  $\mu$ T





<b>ARNG SOLAR I S.R.L.</b> Viale Giorgio Ribotta, 21 - 00144 Eurosky Tower Int. 0B3 - Roma (RM) C.F e P.IVA: 02328180688 PEC: <a href="mailto:arngsolar@pec.it">arngsolar@pec.it</a>	<b>IMPIANTO AGRIVOLTAICO ORTA NOVA 36.5</b>		
<b>PROGETTO DEFINITIVO</b>	<b>ORTA NOVA, FOGGIA, PUGLIA</b>	<b>IN-GE-02 Rev. 0</b>	Pag. 17 di 42

**Tratta:** TIPO ON-3

**Tipologia terne:** CAVO AT 26/45 kV 3x(1x120mm<sup>2</sup>)

**Induzione magnetica (centro trincea al suolo):** 1.33  $\mu$ T

Number of lines  
1

Current in Amplitude (A) and phase (Deg)

Current in Real Component (A) and Imaginary Component (A)

OK

Line1

Line position: Trefoil\_configuration

Distance between conductors [m]: 0.044

Current [A]: 174

Phase (deg): 0

X [m]: 0

Y [m]: -1.2

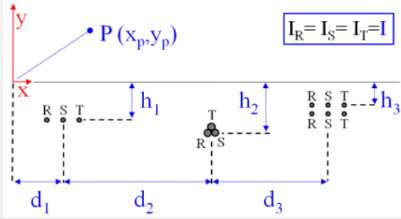
RST  
 TSR  
 RTS  
 SRT  
 STR  
 TRS

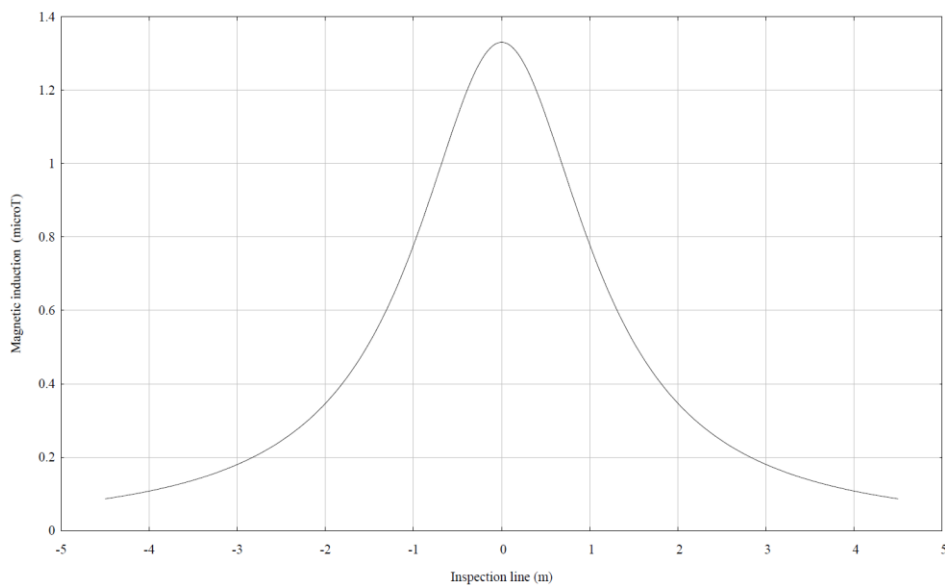
---

Magnetic Induction on a point

Coordinates of point P:  
X (m):  
Y (m):

Magnetic Induction on point P:  
1.331  $\mu$ T





<b>ARNG SOLAR I S.R.L.</b> Viale Giorgio Ribotta, 21 - 00144 Eurosky Tower Int. 0B3 - Roma (RM) C.F e P.IVA: 02328180688 PEC: <a href="mailto:arngsolar@pec.it">arngsolar@pec.it</a>	<b>IMPIANTO AGRIVOLTAICO ORTA NOVA 36.5</b>		
<b>PROGETTO DEFINITIVO</b>	<b>ORTA NOVA, FOGGIA, PUGLIA</b>	<b>IN-GE-02 Rev. 0</b>	Pag. 18 di 42

**Tratta:** TIPO ON-4

**Tipologia terne:** CAVO AT 26/45 kV 3x(1x185mm<sup>2</sup>)

**Induzione magnetica (centro trincea al suolo):** 1.84  $\mu$ T

Number of lines:

Line1: Current [A]  Phase (deg)  Line position: X [m]  Y [m]  Trefoil\_configuration:  RST  TSR  RTS  SRT  STR  TRS Distance between conductors [m]

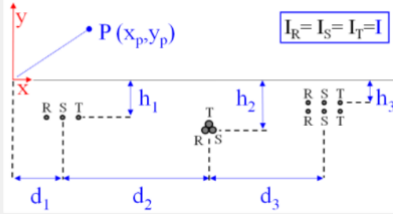
Current in Amplitude (A) and phase (Deg)  
 Current in Real Component (A) and Imaginary Component (A)

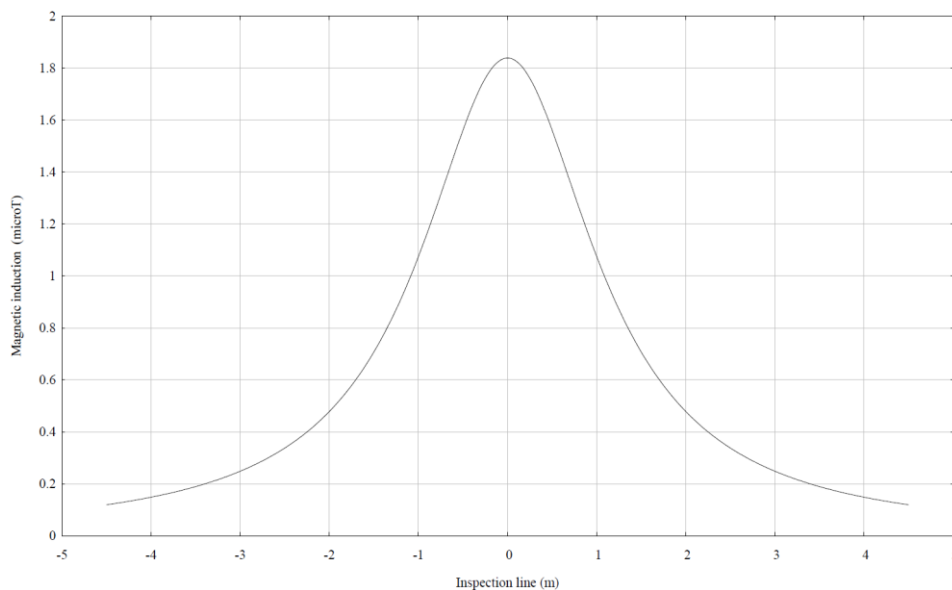
---

Magnetic Induction on a point: Coordinates of point P: X (m)  Y (m)  Magnetic Induction on point P:   $\mu$ T

Magnetic Induction on a line:

Magnetic Induction on a plane:





<b>ARNG SOLAR I S.R.L.</b> Viale Giorgio Ribotta, 21 - 00144 Eurosky Tower Int. 0B3 - Roma (RM) C.F e P.IVA: 02328180688 PEC: <a href="mailto:arngsolar@pec.it">arngsolar@pec.it</a>	<b>IMPIANTO AGRIVOLTAICO ORTA NOVA 36.5</b>		
<b>PROGETTO DEFINITIVO</b>	<b>ORTA NOVA, FOGGIA, PUGLIA</b>	<b>IN-GE-02 Rev. 0</b>	Pag. 19 di 42

**Tratta:** TIPO ON-4-1

**Tipologia terne:** CAVO AT 26/45 kV 3x(1x185mm<sup>2</sup>)

**Induzione magnetica (centro trincea al suolo):** 1.35  $\mu$ T

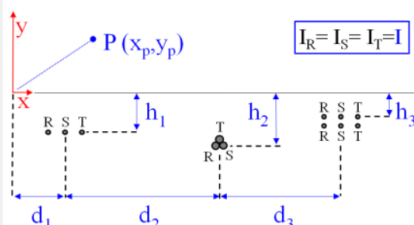
Number of lines:

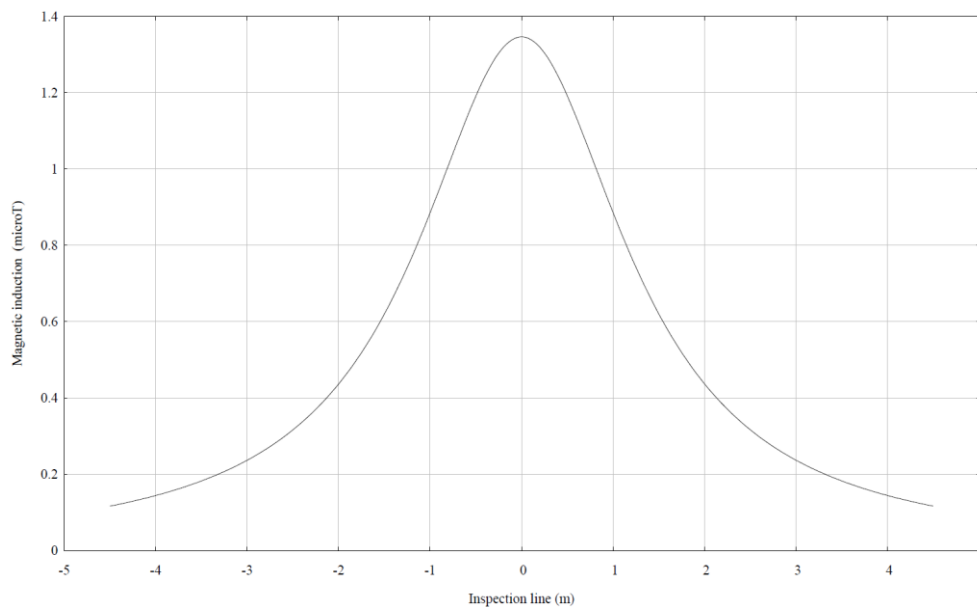
Line1: Current [A]  Phase (deg)  Line position: X [m]  Y [m]  Trefoil\_configuration:  RST  TSR  RTS  SRT  STR  TRS Distance between conductors [m]

Current in Amplitude (A) and phase (Deg)  Current in Real Component (A) and Imaginary Component (A)

---

Magnetic Induction on a point: Coordinates of point P: X (m)  Y (m)  Magnetic Induction on point P: 1.347  $\mu$ T





<b>ARNG SOLAR I S.R.L.</b> Viale Giorgio Ribotta, 21 - 00144 Eurosky Tower Int. 0B3 - Roma (RM) C.F e P.IVA: 02328180688 PEC: <a href="mailto:arngsolar@pec.it">arngsolar@pec.it</a>	<b>IMPIANTO AGRIVOLTAICO ORTA NOVA 36.5</b>		
<b>PROGETTO DEFINITIVO</b>	<b>ORTA NOVA, FOGGIA, PUGLIA</b>	<b>IN-GE-02 Rev. 0</b>	Pag. 20 di 42

**Tratta:** TIPO ON-5

**Tipologia terne:** CAVO AT 26/45 kV 3x(1x400mm<sup>2</sup>)

**Induzione magnetica (centro trincea al suolo):** 2.62  $\mu$ T

Number of lines  
1

Current in Amplitude (A) and phase (Deg)

Current in Real Component (A) and Imaginary Component (A)

OK

Line 1

Current [A] 327    Line position    Trefoil\_configuration    Distance between conductors [m] 0.046

Phase (deg) 0    X [m] 0     RST  TSR  RTS

Y [m] -1.2     SRT  STR  TRS

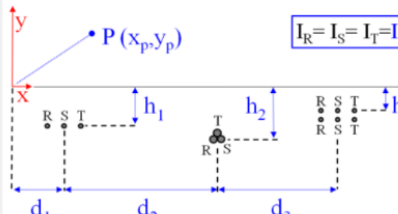
---

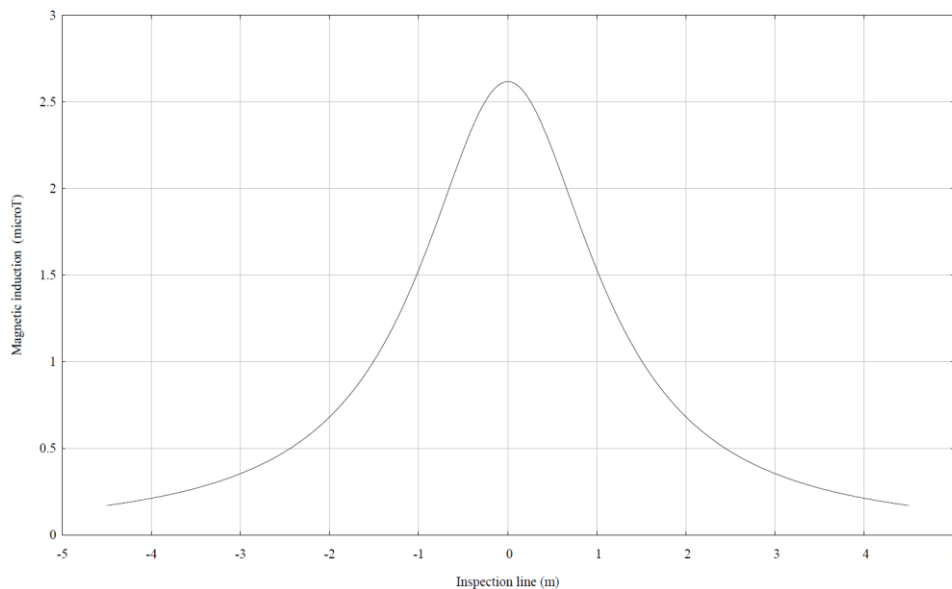
Magnetic Induction on a point    Magnetic Induction on a line    Magnetic Induction on a plane

Coordinates of point P

X (m)    Magnetic Induction on point P

Y (m)    2.617  $\mu$ T





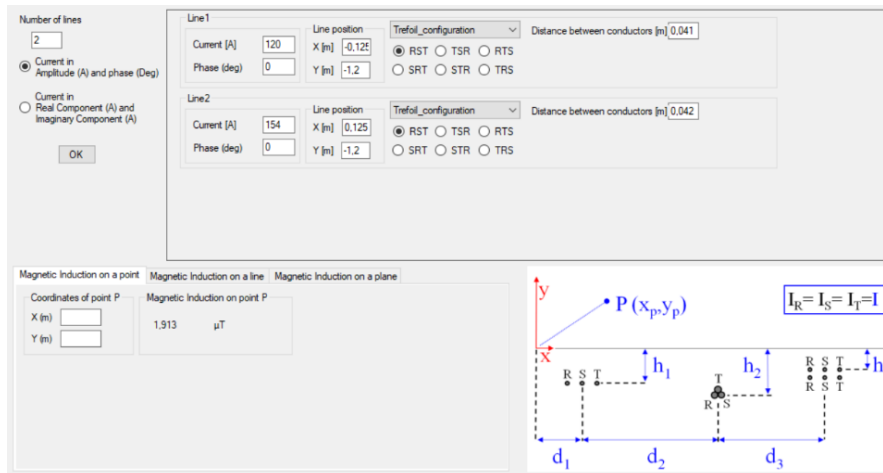
<b>ARNG SOLAR I S.R.L.</b> Viale Giorgio Ribotta, 21 - 00144 Eurosky Tower Int. 0B3 - Roma (RM) C.F e P.IVA: 02328180688 PEC: <a href="mailto:arngsolar@pec.it">arngsolar@pec.it</a>	<b>IMPIANTO AGRIVOLTAICO ORTA NOVA 36.5</b>		
<b>PROGETTO DEFINITIVO</b>	<b>ORTA NOVA, FOGGIA, PUGLIA</b>	<b>IN-GE-02 Rev. 0</b>	Pag. 21 di 42

**Tratta:** TIPO ON-6

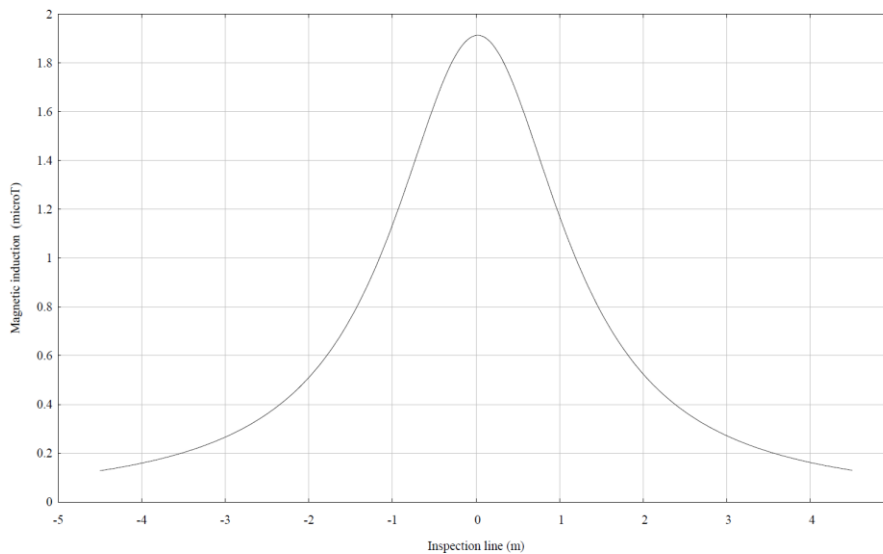
**Tipologia terne:** CAVO AT 26/45 kV 3x(1x70mm<sup>2</sup>)

**Tipologia terne:** CAVO AT 26/45 kV 3x(1x95mm<sup>2</sup>)

**Induzione magnetica (centro trincea al suolo):** 1.91  $\mu$ T



The screenshot shows a software interface for calculating magnetic induction. It includes input fields for the number of lines (set to 2), current (120 A for Line 1, 154 A for Line 2), and phase (0 degrees). It also shows a diagram of a three-phase line configuration with a point P and distances  $d_1, d_2, d_3$  and heights  $h_1, h_2, h_3$ . The diagram also shows the current values  $I_R = I_S = I_T = I$ .



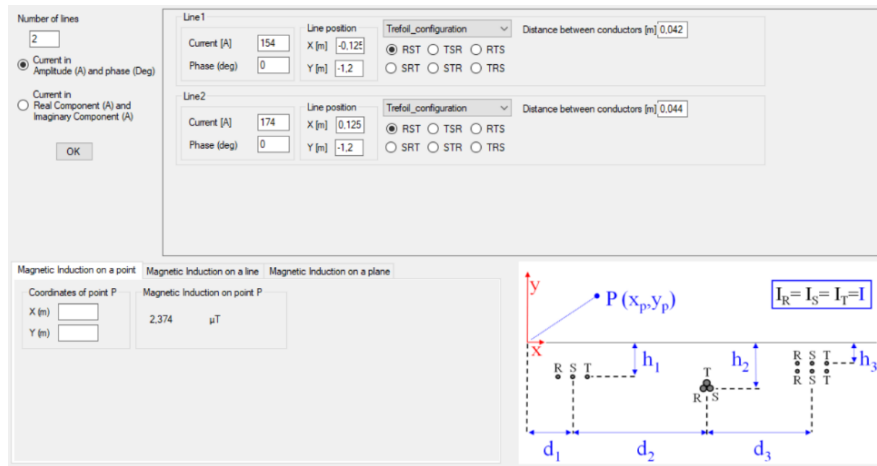
<b>ARNG SOLAR I S.R.L.</b> Viale Giorgio Ribotta, 21 - 00144 Eurosky Tower Int. 0B3 - Roma (RM) C.F e P.IVA: 02328180688 PEC: <a href="mailto:arngsolar@pec.it">arngsolar@pec.it</a>	<b>IMPIANTO AGRIVOLTAICO ORTA NOVA 36.5</b>		
<b>PROGETTO DEFINITIVO</b>	<b>ORTA NOVA, FOGGIA, PUGLIA</b>	<b>IN-GE-02 Rev. 0</b>	Pag. 22 di 42

**Tratta:** TIPO ON-7

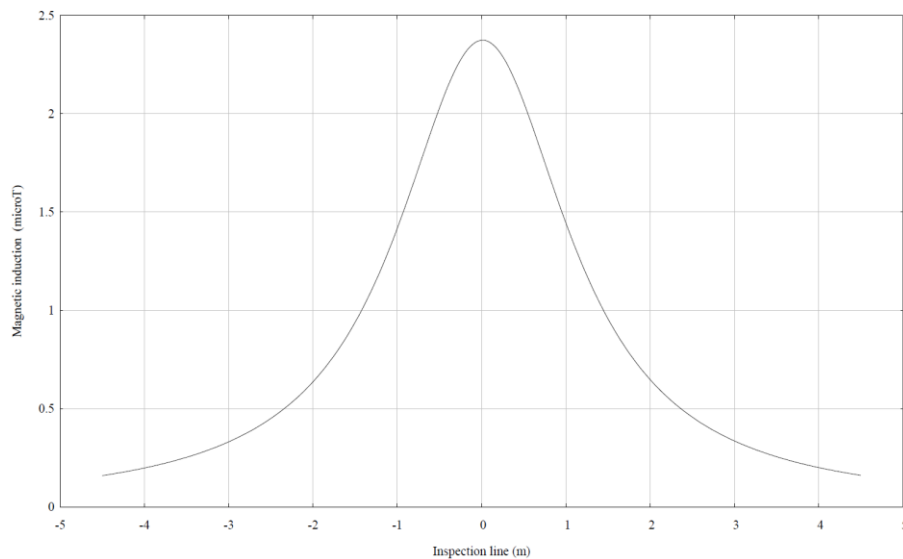
**Tipologia terne:** CAVO AT 26/45 kV 3x(1x95mm<sup>2</sup>)

**Tipologia terne:** CAVO AT 26/45 kV 3x(1x120mm<sup>2</sup>)

**Induzione magnetica (centro trincea al suolo):** 2.37  $\mu$ T



The screenshot shows a software interface for calculating magnetic induction. It includes input fields for the number of lines (2), current in Amperes (154 and 174), and line positions (X and Y coordinates). It also shows a diagram of the physical layout of the lines with phases R, S, T and distances  $d_1, d_2, d_3, h_1, h_2, h_3$ . The resulting magnetic induction on a point P is shown as 2.374  $\mu$ T.



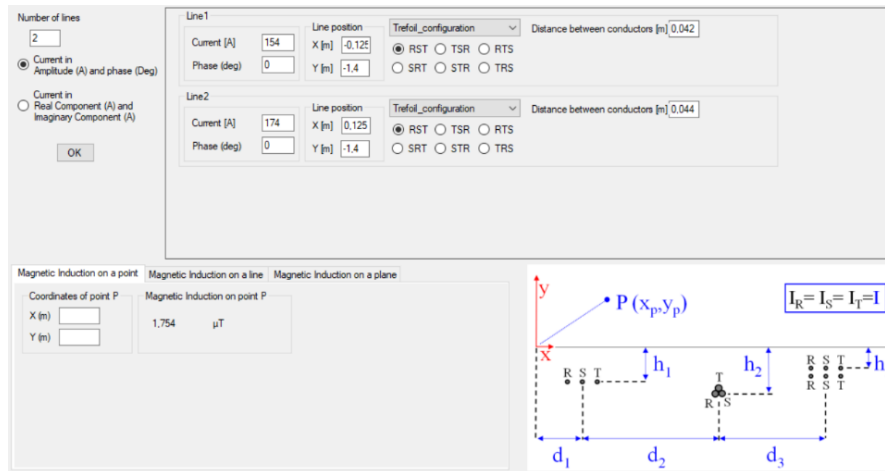
<b>ARNG SOLAR I S.R.L.</b> Viale Giorgio Ribotta, 21 - 00144 Eurosky Tower Int. 0B3 - Roma (RM) C.F e P.IVA: 02328180688 PEC: <a href="mailto:arngsolar@pec.it">arngsolar@pec.it</a>	<b>IMPIANTO AGRIVOLTAICO ORTA NOVA 36.5</b>		
<b>PROGETTO DEFINITIVO</b>	<b>ORTA NOVA, FOGGIA, PUGLIA</b>	<b>IN-GE-02 Rev. 0</b>	Pag. 23 di 42

**Tratta:** TIPO ON-7-1

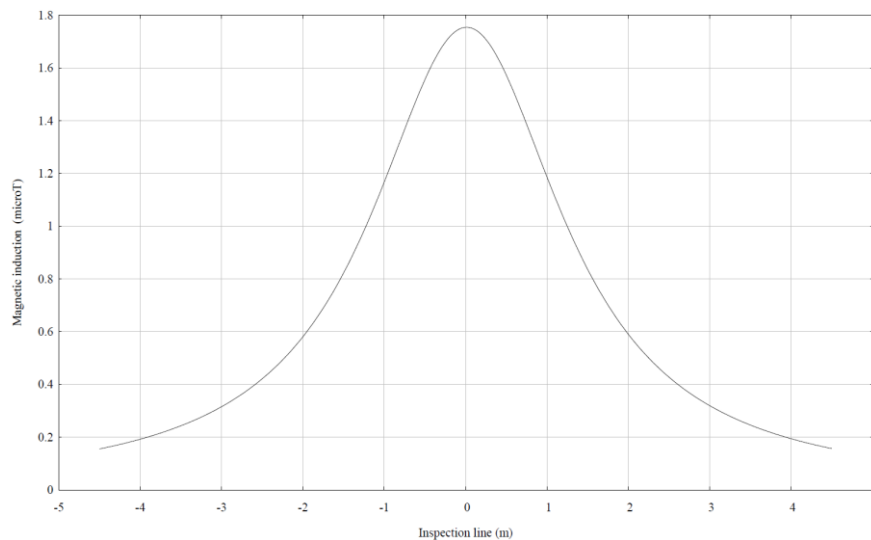
**Tipologia terne:** CAVO AT 26/45 kV 3x(1x95mm<sup>2</sup>)

**Tipologia terne:** CAVO AT 26/45 kV 3x(1x120mm<sup>2</sup>)

**Induzione magnetica (centro trincea al suolo):** 1.75  $\mu$ T



The screenshot shows a software interface for calculating magnetic induction. It includes a 'Number of lines' field set to 2, and radio buttons for 'Current in Amplitude (A) and phase (Deg)' (selected) and 'Current in Real Component (A) and Imaginary Component (A)'. Below are settings for 'Line1' and 'Line2', including current (154 A and 174 A), phase (0 deg), and position (X, Y in meters). A 'Trefol\_configuration' dropdown is set to 'RST'. The 'Distance between conductors [m]' is 0.042 for Line1 and 0.044 for Line2. The bottom section shows 'Magnetic Induction on a point' with coordinates of point P (X, Y in meters) and a calculated value of 1.754  $\mu$ T. To the right is a diagram of the conductor arrangement with distances  $d_1, d_2, d_3$  and heights  $h_1, h_2, h_3$ , and a note  $I_R = I_S = I_T = I$ .



<b>ARNG SOLAR I S.R.L.</b> Viale Giorgio Ribotta, 21 - 00144 Eurosky Tower Int. 0B3 - Roma (RM) C.F e P.IVA: 02328180688 PEC: <a href="mailto:arngsolar@pec.it">arngsolar@pec.it</a>	<b>IMPIANTO AGRIVOLTAICO ORTA NOVA 36.5</b>		
<b>PROGETTO DEFINITIVO</b>	<b>ORTA NOVA, FOGGIA, PUGLIA</b>	<b>IN-GE-02 Rev. 0</b>	Pag. 24 di 42

**Tratta:** TIPO ON-8

**Tipologia terne:** CAVO AT 26/45 kV 3x(1x70mm<sup>2</sup>)

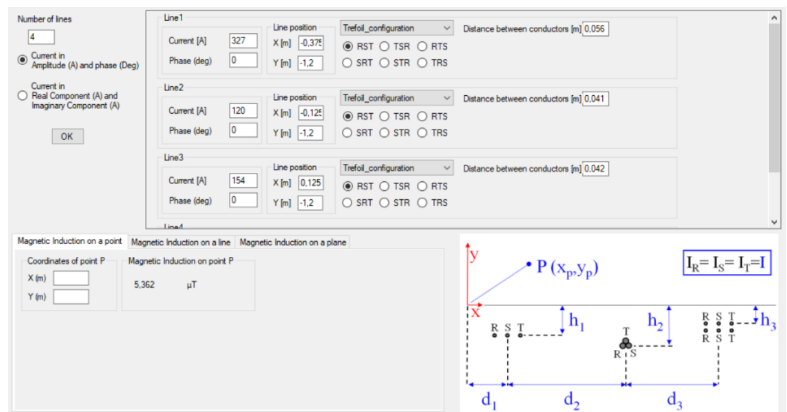
**Tipologia terne:** CAVO AT 26/45 kV 3x(1x95mm<sup>2</sup>)

**Tipologia terne:** CAVO AT 26/45 kV 3x(1x120mm<sup>2</sup>)

**Tipologia terne:** CAVO AT 26/45 kV 3x(1x400mm<sup>2</sup>)

**Induzione magnetica (centro trincea al suolo):** 5.36  $\mu$ T

**DPA:** 1.73 m  $\approx$  2 m



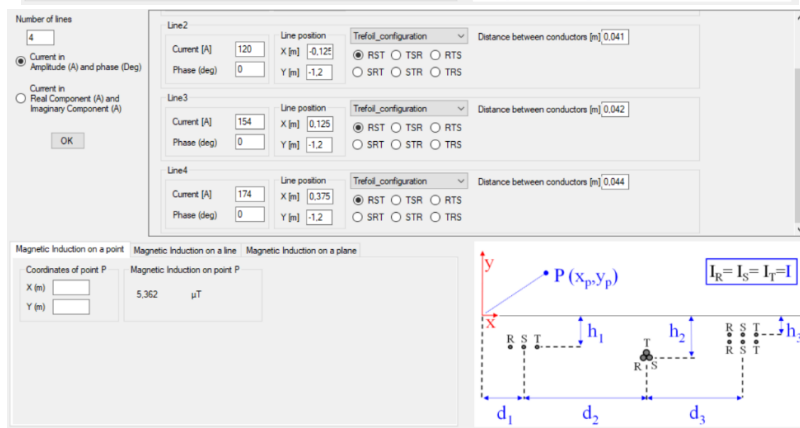
Number of lines: 4

Line 1: Current [A] 327, X [m] 0.375, Y [m] -1.2, Distance between conductors [m] 0.056

Line 2: Current [A] 120, X [m] -0.125, Y [m] -1.2, Distance between conductors [m] 0.041

Line 3: Current [A] 154, X [m] 0.125, Y [m] -1.2, Distance between conductors [m] 0.042

Magnetic induction on a point P: 5.362  $\mu$ T



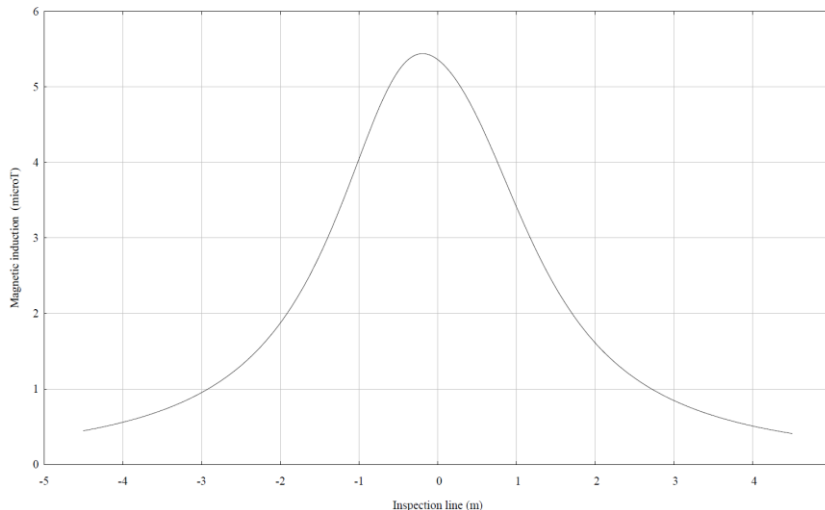
Number of lines: 4

Line 2: Current [A] 120, X [m] -0.125, Y [m] -1.2, Distance between conductors [m] 0.041

Line 3: Current [A] 154, X [m] 0.125, Y [m] -1.2, Distance between conductors [m] 0.042

Line 4: Current [A] 174, X [m] 0.375, Y [m] -1.2, Distance between conductors [m] 0.044

Magnetic induction on a point P: 5.362  $\mu$ T



<b>ARNG SOLAR I S.R.L.</b> Viale Giorgio Ribotta, 21 - 00144 Eurosky Tower Int. OB3 - Roma (RM) C.F e P.IVA: 02328180688 PEC: <a href="mailto:arngsolar@pec.it">arngsolar@pec.it</a>	<b>IMPIANTO AGRIVOLTAICO ORTA NOVA 36.5</b>		
<b>PROGETTO DEFINITIVO</b>	<b>ORTA NOVA, FOGGIA, PUGLIA</b>	<b>IN-GE-02 Rev. 0</b>	Pag. 25 di 42

**Tratta:** TIPO ON-9

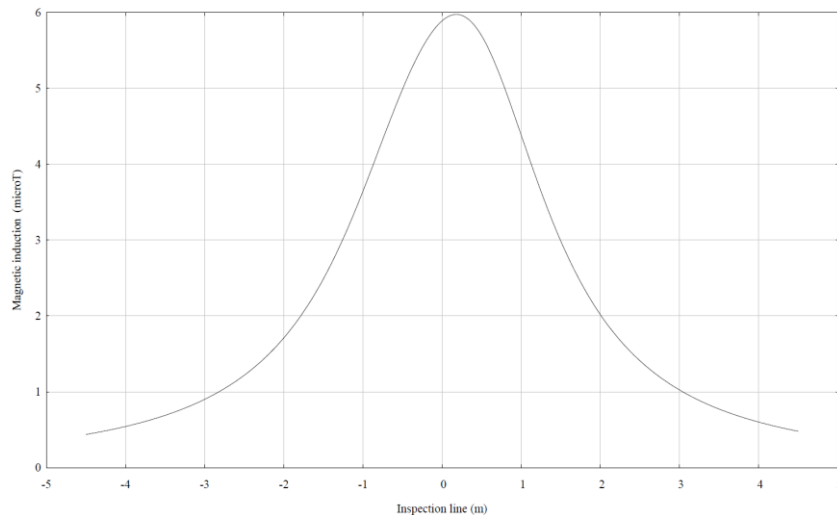
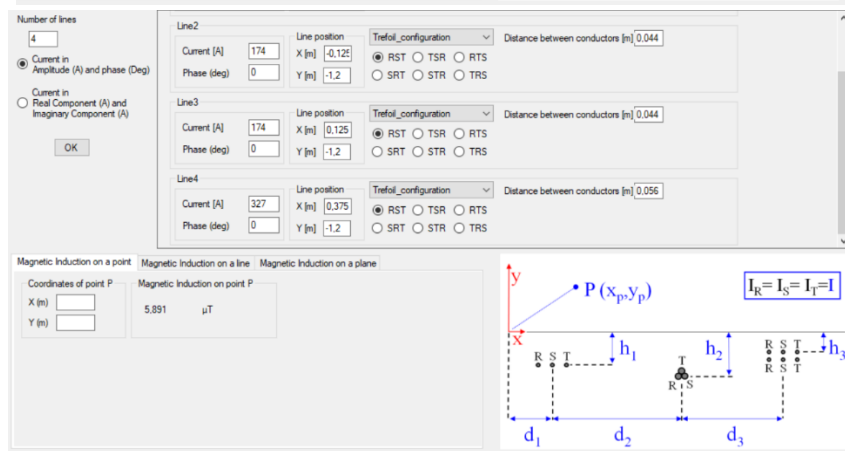
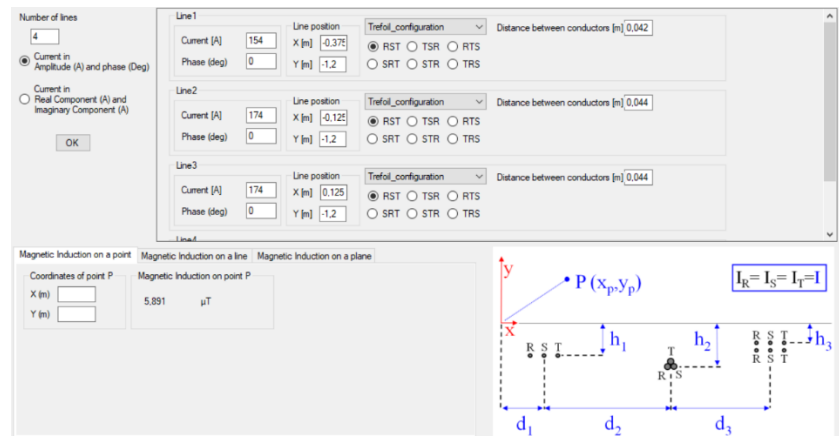
**Tipologia terne:** CAVO AT 26/45 kV 3x(1x95mm<sup>2</sup>)

**Tipologia terne:** CAVO AT 26/45 kV 2x(3x(1x120mm<sup>2</sup>))

**Tipologia terne:** CAVO AT 26/45 kV 3x(1x400mm<sup>2</sup>)

**Induzione magnetica (centro trincea al suolo):** 5.89  $\mu$ T

**DPA:** 1.51 m  $\approx$  2 m



<b>ARNG SOLAR I S.R.L.</b> Viale Giorgio Ribotta, 21 - 00144 Eurosky Tower Int. OB3 - Roma (RM) C.F e P.IVA: 02328180688 PEC: <a href="mailto:arngsolar@pec.it">arngsolar@pec.it</a>	<b>IMPIANTO AGRIVOLTAICO ORTA NOVA 36.5</b>		
<b>PROGETTO DEFINITIVO</b>	<b>ORTA NOVA, FOGGIA, PUGLIA</b>	<b>IN-GE-02 Rev. 0</b>	Pag. 26 di 42

**Tratta:** TIPO ON-10

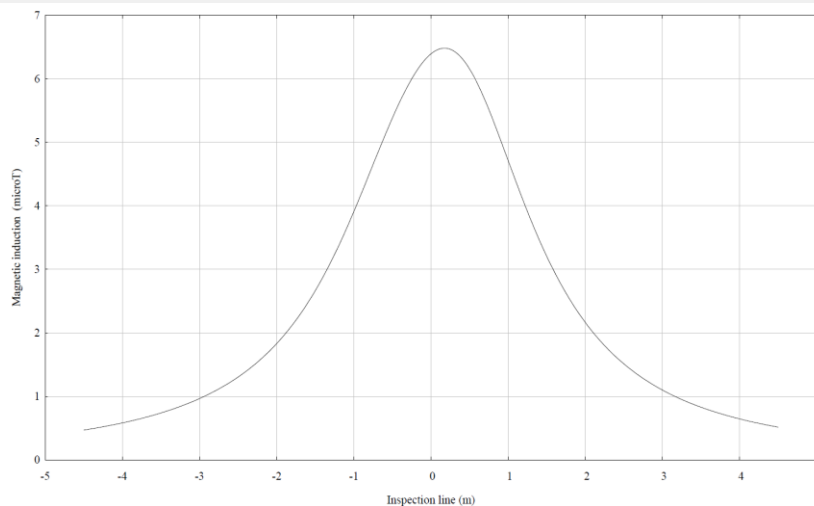
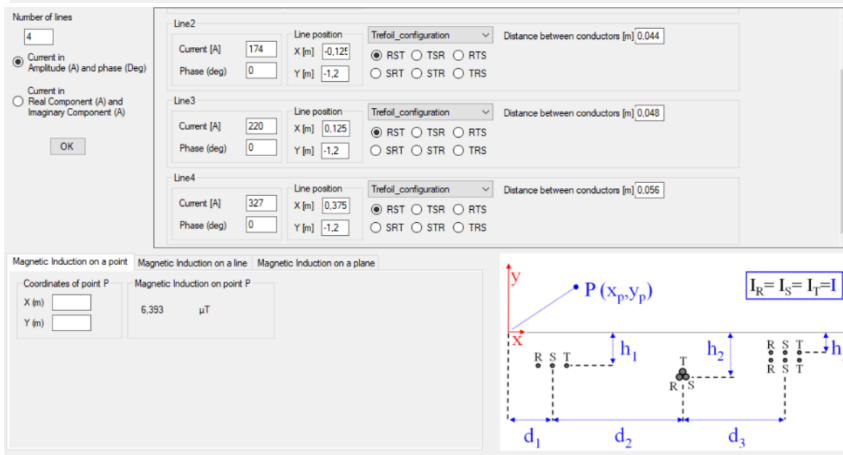
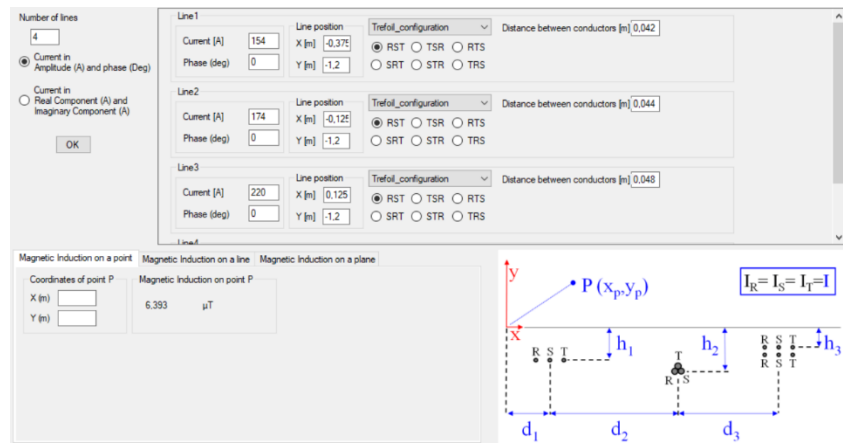
**Tipologia terne:** CAVO AT 26/45 kV 3x(1x70mm<sup>2</sup>)

**Tipologia terne:** CAVO AT 26/45 kV 2x(3x(1x120mm<sup>2</sup>))

**Tipologia terne:** CAVO AT 26/45 kV 3x(1x400mm<sup>2</sup>)

**Induzione magnetica (centro trincea al suolo):** 6.39  $\mu$ T

**DPA:** 1.59 m  $\approx$  2 m



<b>ARNG SOLAR I S.R.L.</b> Viale Giorgio Ribotta, 21 - 00144 Eurosky Tower Int. 0B3 - Roma (RM) C.F e P.IVA: 02328180688 PEC: <a href="mailto:arngsolar@pec.it">arngsolar@pec.it</a>	<b>IMPIANTO AGRIVOLTAICO ORTA NOVA 36.5</b>		
<b>PROGETTO DEFINITIVO</b>	<b>ORTA NOVA, FOGGIA, PUGLIA</b>	<b>IN-GE-02 Rev. 0</b>	Pag. 27 di 42

**Tratta:** TIPO ON-11

**Tipologia terne:** CAVO AT 26/45 kV 3x(1x95mm<sup>2</sup>)

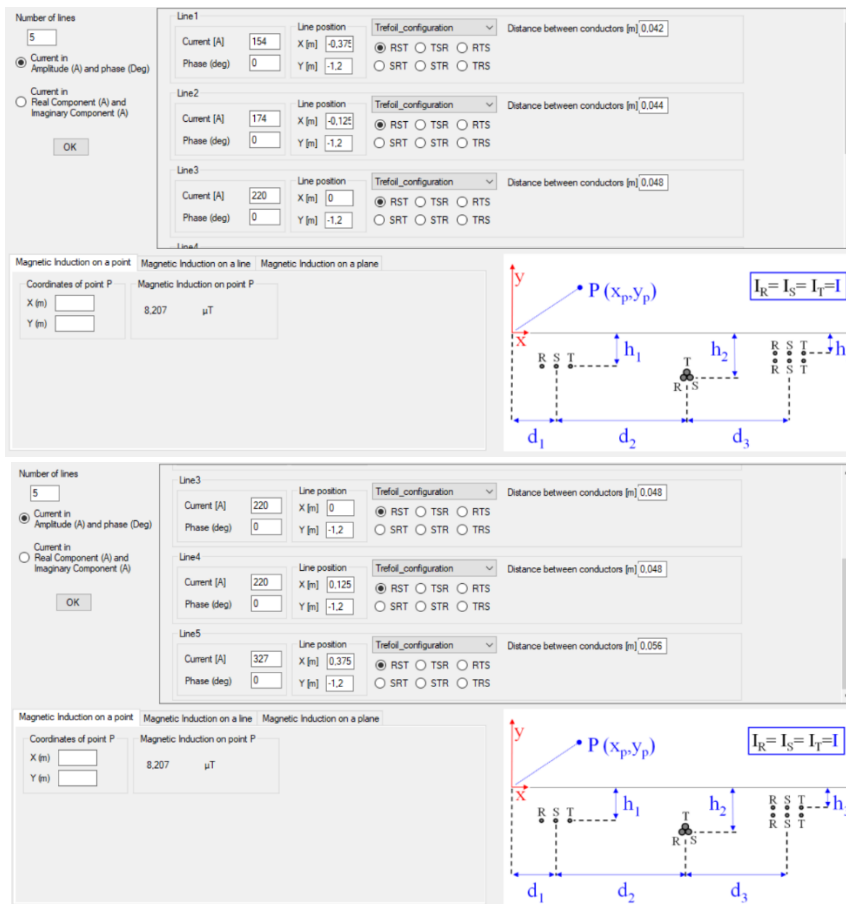
**Tipologia terne:** CAVO AT 26/45 kV 3x(1x120mm<sup>2</sup>)

**Tipologia terne:** CAVO AT 26/45 kV 3x(1x185mm<sup>2</sup>)

**Tipologia terne:** CAVO AT 26/45 kV 3x(1x400mm<sup>2</sup>)

**Induzione magnetica (centro trincea al suolo):** 8.21  $\mu$ T

**DPA:** 1.85 m  $\approx$  2 m



The screenshot displays a software interface for calculating magnetic induction. It is divided into two main sections, each showing settings for a different line (Line1 and Line3) and a corresponding diagram of a three-phase line.

**Line1 Settings:**

- Number of lines: 5
- Current in Amplitude (A) and phase (Deg):  (Selected)
- Current in Real Component (A) and Imaginary Component (A):
- Line1: Current [A] = 154, Phase (deg) = 0, X [m] = -0.375, Y [m] = -1.2, Distance between conductors [m] = 0.042
- Line2: Current [A] = 174, Phase (deg) = 0, X [m] = -0.125, Y [m] = -1.2, Distance between conductors [m] = 0.044
- Line3: Current [A] = 220, Phase (deg) = 0, X [m] = 0, Y [m] = -1.2, Distance between conductors [m] = 0.048

**Magnetic Induction on a point:**

- Coordinates of point P: X (m) = , Y (m) =
- Magnetic Induction on point P: 8.207  $\mu$ T

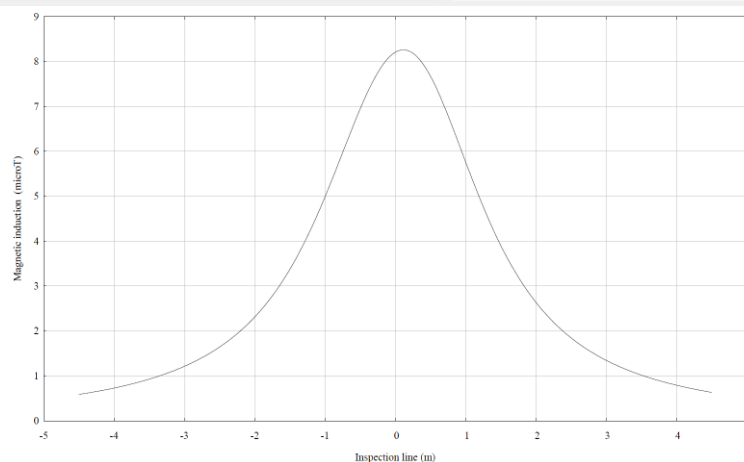
**Diagram:** Shows a three-phase line with conductors R, S, T. Distances from the center to each conductor are  $d_1, d_2, d_3$ . Heights from the ground to each conductor are  $h_1, h_2, h_3$ . A point P is located at  $(x_p, y_p)$ . The formula  $I_R = I_S = I_T = I$  is shown.

**Line3 Settings (Bottom Section):**

- Line3: Current [A] = 220, Phase (deg) = 0, X [m] = 0, Y [m] = -1.2, Distance between conductors [m] = 0.048
- Line4: Current [A] = 220, Phase (deg) = 0, X [m] = 0.125, Y [m] = -1.2, Distance between conductors [m] = 0.048
- Line5: Current [A] = 327, Phase (deg) = 0, X [m] = 0.375, Y [m] = -1.2, Distance between conductors [m] = 0.056

**Magnetic Induction on a point (Bottom Section):**

- Coordinates of point P: X (m) = , Y (m) =
- Magnetic Induction on point P: 8.207  $\mu$ T

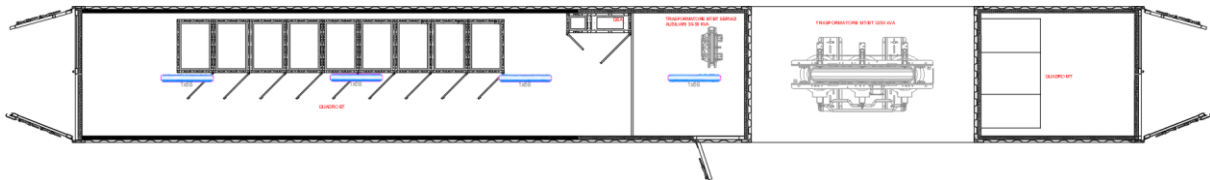


<b>ARNG SOLAR I S.R.L.</b> Viale Giorgio Ribotta, 21 - 00144 Eurosky Tower Int. 0B3 - Roma (RM) C.F e P.IVA: 02328180688 PEC: <a href="mailto:arngsolar@pec.it">arngsolar@pec.it</a>	<b>IMPIANTO AGRIVOLTAICO ORTA NOVA 36.5</b>		
<b>PROGETTO DEFINITIVO</b>	<b>ORTA NOVA, FOGGIA, PUGLIA</b>	<b>IN-GE-02 Rev. 0</b>	Pag. 28 di 42

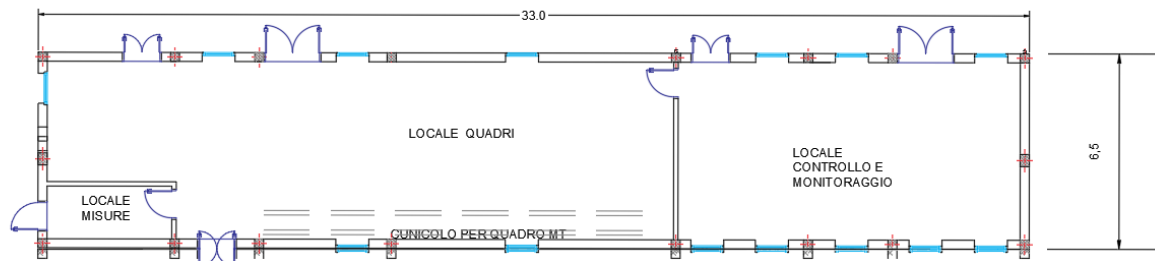
### 5.1.2 CABINE ELETTRICHE AT/BT

Per ciò che riguarda le cabine di trasformazione le sorgenti sono rappresentate dal quadro AT, trasformatore AT/BT da 3.250 kVA, quadro di parallelo di bassa tensione e relativi cablaggi AT e BT; mentre per la cabina di ricezione sono rappresentate dal quadro AT, trasformatore AT/BT da 5-50kVA, quadro di bassa tensione e relativi cablaggi AT e BT.

In merito alla valutazione delle distanze di prima approssimazione nei cabinati di trasformazione e cabine di ricezione AT si è considerata la distanza da ciascuna delle pareti (tetto, pavimento e pareti laterali) della cabina stessa in quanto le stesse al loro interno non sono considerate luogo di lavoro stabile ma occupato dal personale tecnico in modo saltuario durante la manutenzione che per lo più avverranno in assenza di tensione.



**Fig.4 - Ingombri cabine di trasformazione AT/BT**

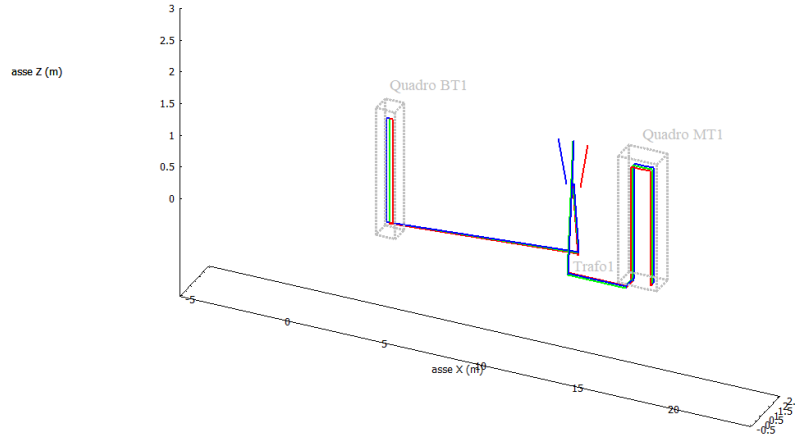


**Fig.5 - Ingombri cabine di ricezione**

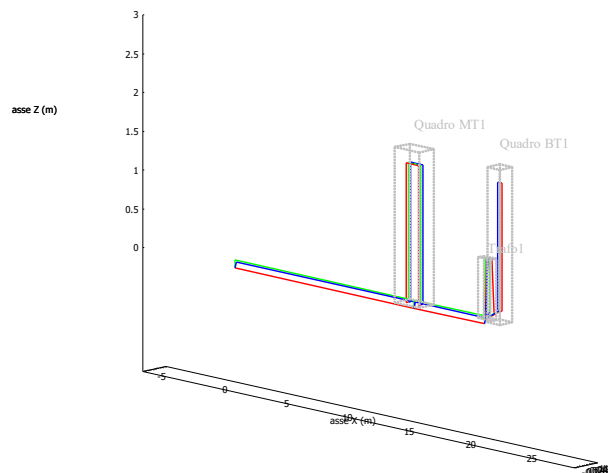
Tali DPA sono state valutate impiegando modellazione tridimensionale con il software "Magic" di BESHielding per tutte le tipologie presenti nel progetto. Viene dapprima inserita la geometria della cabina, successivamente viene valutato il campo magnetico lungo il piano XZ per valutare l'altezza spaziale dove il campo è massimo. Infine, su quella altezza spaziale viene valutato il campo magnetico lungo il piano XY, dove X è il lato lungo delle cabine, Y è il lato corto e Z è l'asse dell'altezza delle cabine.

Le cabine vengono modellizzate in funzione dei componenti presenti all'interno e in base alle caratteristiche dimensionali di installazione all'interno delle cabine.

<b>ARNG SOLAR I S.R.L.</b> Viale Giorgio Ribotta, 21 - 00144 Eurosky Tower Int. 0B3 - Roma (RM) C.F e P.IVA: 02328180688 PEC: <a href="mailto:arngsolar@pec.it">arngsolar@pec.it</a>	<b>IMPIANTO AGRIVOLTAICO          ORTA NOVA 36.5</b>		
<b>PROGETTO DEFINITIVO</b>	<b>ORTA NOVA, FOGGIA,          PUGLIA</b>	<b>IN-GE-02          Rev. 0</b>	Pag. 29 di 42



**Fig.6 - Modello spaziale cablaggi nelle cabine di trasformazione AT/BT**



**Fig.7 - Modello spaziale cablaggi nelle cabine di ricezione**

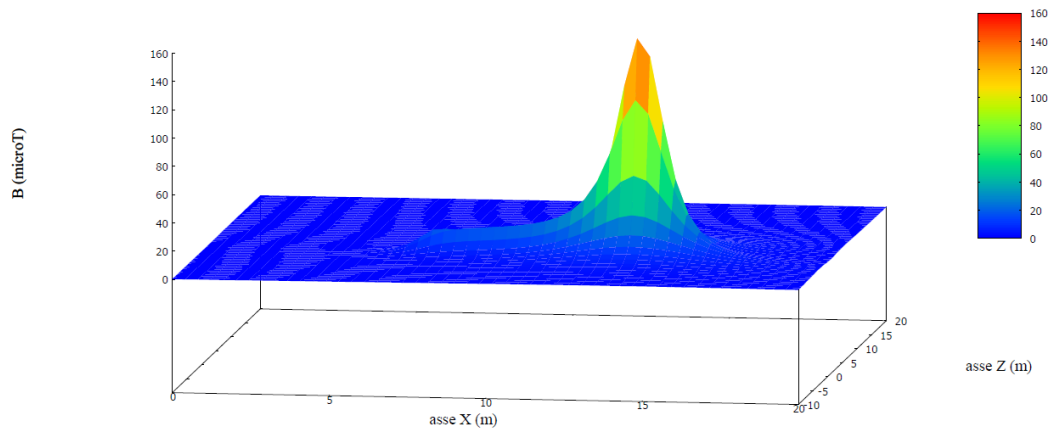
Nei seguenti grafici si può visualizzare l'andamento del campo magnetico nelle cabine. Nella rappresentazione delle cabine in verde sono visualizzate in prospettiva lungo il piano XZ, in azzurro invece sono visualizzate in piante lungo il piano XY.

#### Cabina di trasformazione AT/BT – 3250kVA

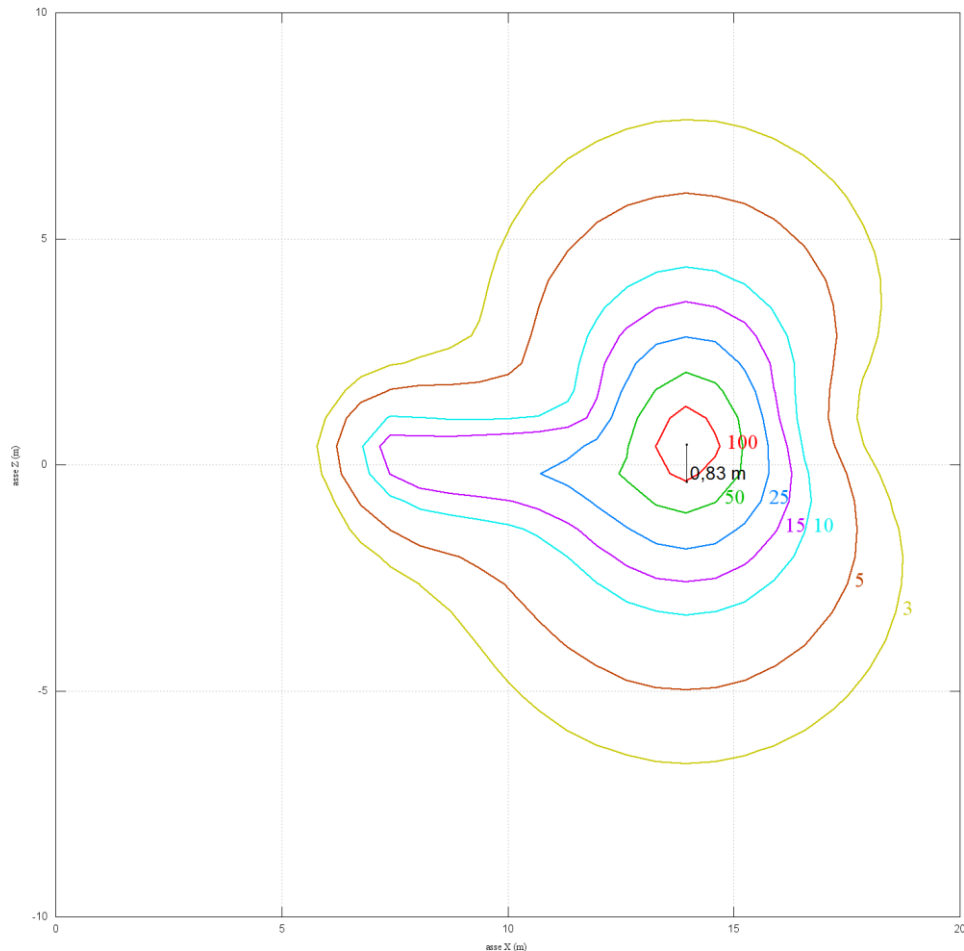
Il campo magnetico valutato a 1 metro fuori dalla cabina ( $y=-1m$ ) permette di determinare il campo massimo sull'asse XZ al fine di valutare l'altezza Z in cui è massimo il campo.

<b>ARNG SOLAR I S.R.L.</b> Viale Giorgio Ribotta, 21 - 00144 Eurosky Tower Int. 0B3 - Roma (RM) C.F e P.IVA: 02328180688 PEC: <a href="mailto:arngsolar@pec.it">arngsolar@pec.it</a>	<b>IMPIANTO AGRIVOLTAICO ORTA NOVA 36.5</b>		
<b>PROGETTO DEFINITIVO</b>	<b>ORTA NOVA, FOGGIA, PUGLIA</b>	<b>IN-GE-02 Rev. 0</b>	Pag. 30 di 42

Cabina - calcolo su piano xz - quote Y=-1 m



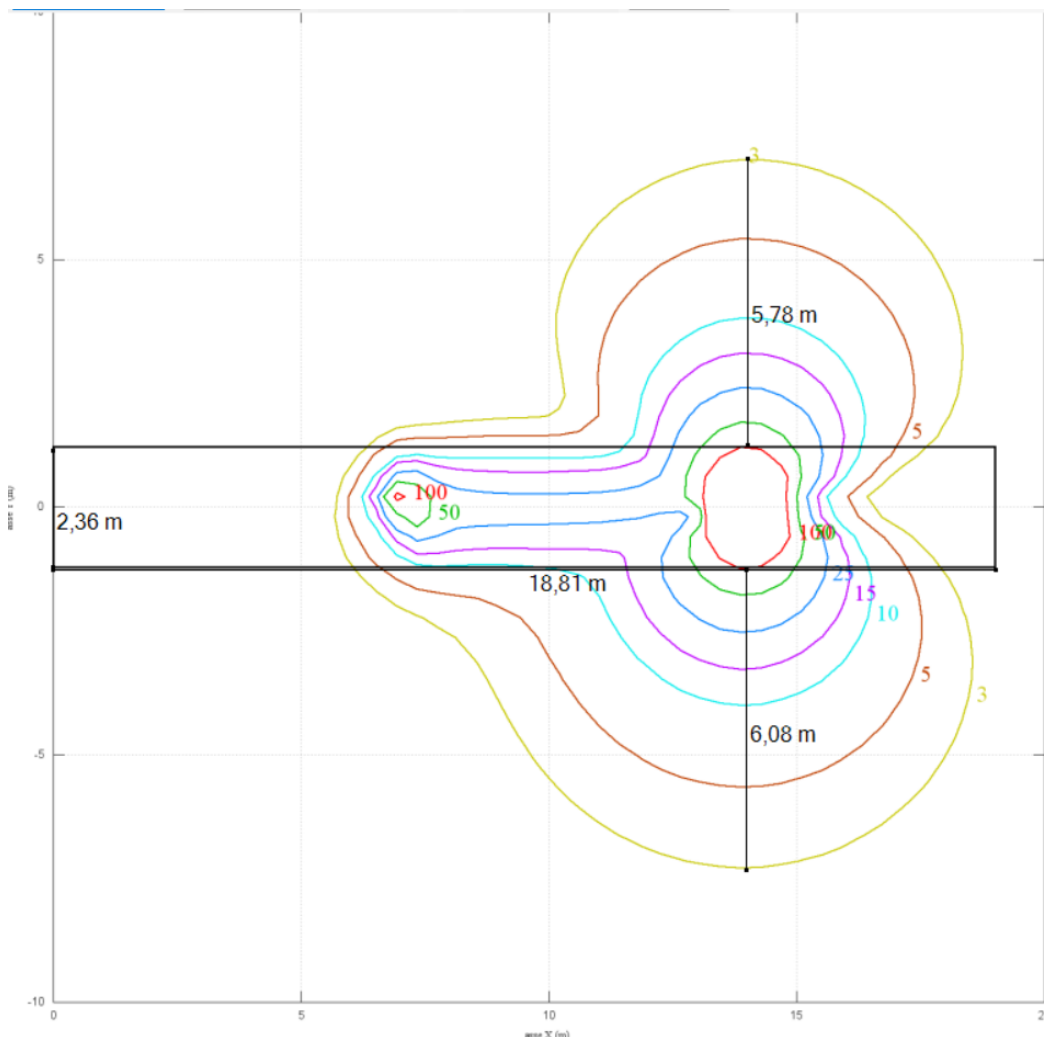
Cabina - calcolo su piano xz - quote Y=-1 m



Si determina che è massima 0,83 m, che sarà usata come altezza per la valutazione spaziale sul piano XY.

<b>ARNG SOLAR I S.R.L.</b> Viale Giorgio Ribotta, 21 - 00144 Eurosky Tower Int. 0B3 - Roma (RM) C.F e P.IVA: 02328180688 PEC: <a href="mailto:arngsolar@pec.it">arngsolar@pec.it</a>	<b>IMPIANTO AGRIVOLTAICO          ORTA NOVA 36.5</b>		
<b>PROGETTO DEFINITIVO</b>	<b>ORTA NOVA, FOGGIA,          PUGLIA</b>	<b>IN-GE-02          Rev. 0</b>	Pag. <b>31</b> di <b>42</b>

Dalla valutazione spaziale sull'asse XY, come si può desumere dalla seguente immagine, considerando che l'asse 0 è il limite della parete della cabina con maggior campo magnetico, la distanza affinché si raggiunga l'obiettivo di qualità 3 microtesla per questa tipologia di cabina è pari a: **6,08 m**. Si può assumere quindi una **DPA pari a 7 m solo sul lato lungo della cabina**.

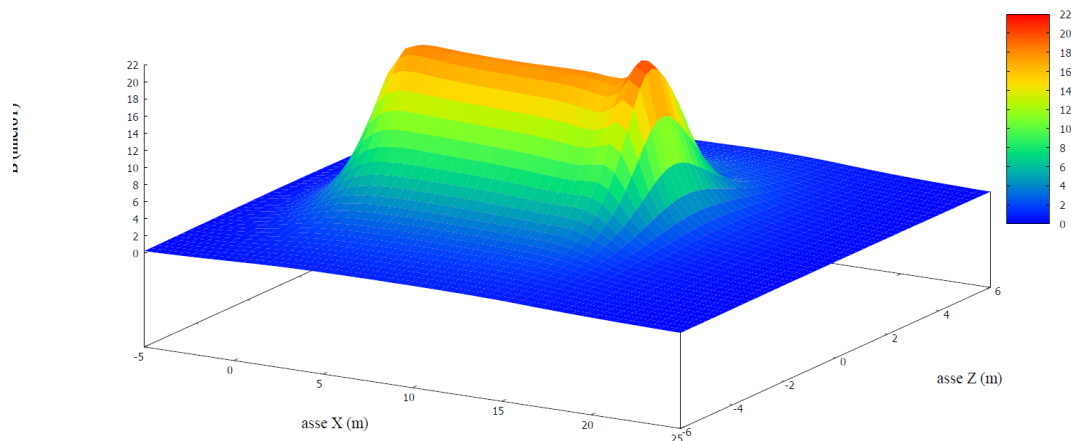


### Cabina di Ricezione

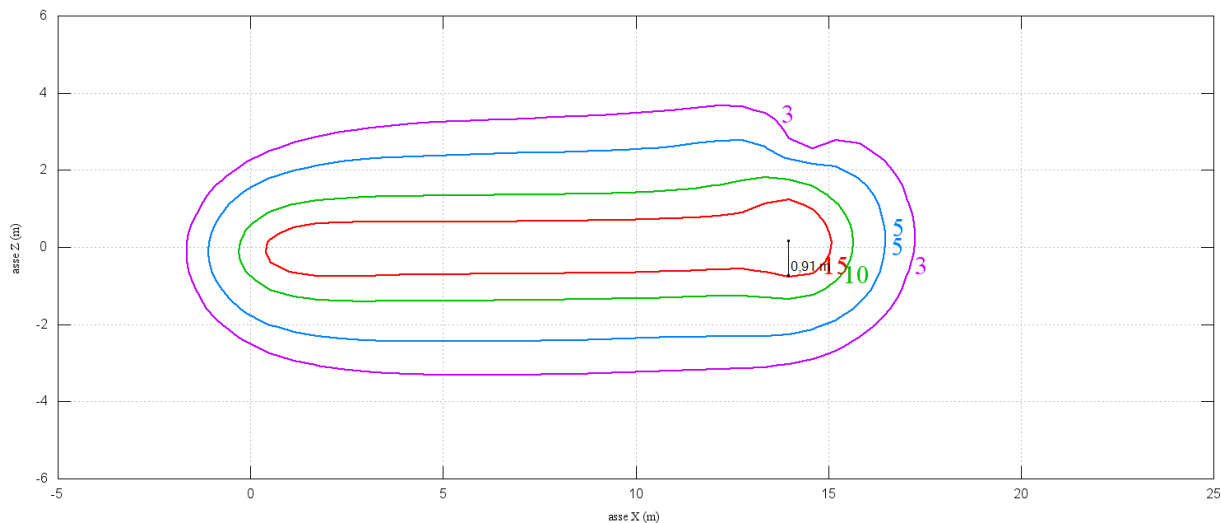
Il campo magnetico valutato a 1 metro fuori dalla cabina ( $y=-1m$ ) permette di determinare il campo massimo sull'asse XZ al fine di valutare l'altezza Z in cui è massimo il campo.

<b>ARNG SOLAR I S.R.L.</b> Viale Giorgio Ribotta, 21 - 00144 Eurosky Tower Int. 0B3 - Roma (RM) C.F e P.IVA: 02328180688 PEC: <a href="mailto:arngsolar@pec.it">arngsolar@pec.it</a>	<b>IMPIANTO AGRIVOLTAICO ORTA NOVA 36.5</b>		
<b>PROGETTO DEFINITIVO</b>	<b>ORTA NOVA, FOGGIA, PUGLIA</b>	<b>IN-GE-02 Rev. 0</b>	Pag. 32 di 42

Cabina - calcolo su piano xz - quote Y=-1 m



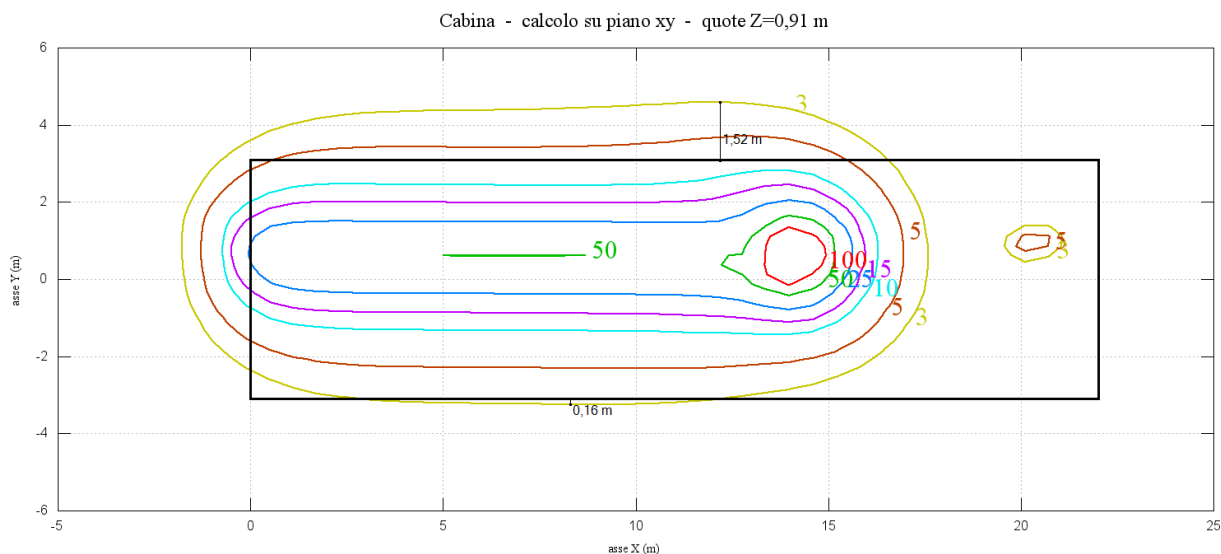
Cabina - calcolo su piano xz - quote Y=-1 m



Si determina che è massima 0,91 m, che sarà usata come altezza per la valutazione spaziale sul piano XY.

Dalla valutazione spaziale sull'asse XY, come si può desumere dalla seguente immagine, considerando che l'asse 0 è il limite della parete della cabina con maggior campo magnetico, la distanza affinché si raggiunga l'obiettivo di qualità 3 microtesla per questa tipologia di cabina è pari a: **1,52 m**. Si può assumere quindi una **DPA pari a 2 m solo sul lato lungo della cabina**.

<b>ARNG SOLAR I S.R.L.</b> Viale Giorgio Ribotta, 21 - 00144 Eurosky Tower Int. 0B3 - Roma (RM) C.F e P.IVA: 02328180688 PEC: <a href="mailto:arngsolar@pec.it">arngsolar@pec.it</a>	<b>IMPIANTO AGRIVOLTAICO ORTA NOVA 36.5</b>		
<b>PROGETTO DEFINITIVO</b>	<b>ORTA NOVA, FOGGIA, PUGLIA</b>	<b>IN-GE-02 Rev. 0</b>	Pag. 33 di 42



## 6. CONCLUSIONI DPA

Le uniche radiazioni associabili a questo tipo di impianti sono le radiazioni non ionizzanti costituite dai campi elettrici e magnetici a bassa frequenza (50 Hz), prodotti rispettivamente dalla tensione di esercizio degli elettrodotti AT e dalla corrente che li percorre, ivi inclusi i trasformatori. I valori di riferimento, per l'esposizione ai campi elettrici e magnetici, sono stabiliti dalla Legge n. 36 del 22/02/2001 e dal successivo DPCM 8 Luglio 2003 "Fissazione dei limiti di esposizione, dei valori di attenzione e degli obiettivi di qualità per la protezione della popolazione dalle esposizioni ai campi elettrici e magnetici alla frequenza di rete di 50 Hz degli elettrodotti". Per ciò che riguarda il campo di induzione magnetica il calcolo nelle varie sezioni di impianto ha dimostrato come non ci siano fattori di rischio per la salute umana a causa delle azioni di progetto, poiché è esclusa la presenza di recettori sensibili (ovvero aree di gioco per l'infanzia, ambienti abitativi, ambienti scolastici, luoghi adibiti a permanenza di persone per più di quattro ore giornaliere) entro le fasce per le quali i valori di induzione magnetica attesa non sia inferiore agli obiettivi di qualità fissati per legge; mentre il campo elettrico generato è nullo a causa dello schermo dei cavi AT o trascurabile negli altri casi.

Si riepilogano nella seguente tabella le distanze di prima approssimazione, tali da garantire un valore del campo di induzione magnetica sotto il valore di  $3\mu\text{T}$  rispettando gli obiettivi di qualità fissati per legge. Si fa notare che le distanze sono da applicare limitatamente ai soli tratti la cui la distanza obiettivo qualità supera la recinzione perimetrale:

<b>ARNG SOLAR I S.R.L.</b> Viale Giorgio Ribotta, 21 - 00144 Eurosky Tower Int. 0B3 - Roma (RM) C.F e P.IVA: 02328180688 PEC: <a href="mailto:arngsolar@pec.it">arngsolar@pec.it</a>	<b>IMPIANTO AGRIVOLTAICO ORTA NOVA 36.5</b>		
<b>PROGETTO DEFINITIVO</b>	<b>ORTA NOVA, FOGGIA, PUGLIA</b>	<b>IN-GE-02 Rev. 0</b>	Pag. <b>34</b> di <b>42</b>

- **Per i cavidotti in AT interni al parco** la distanza di prima approssimazione non eccede il range di **2 m** rispetto all'asse del cavidotto.
- **Per le cabine di trasformazione AT/BT** da 3250 kVA la distanza di prima approssimazione è pari a **7 m** per le cabine dal perimetro del **solo lato lungo della cabina di trasformazione;**
- **Per le cabine di ricezione** la distanza di prima approssimazione è pari a **2 m** dal perimetro del **solo lato lungo della cabina.**

I valori di campo elettrico e magnetico risultano rispettare i valori imposti dalla norma; le aree con valori superiori ricadono all'interno di cabine di trasformazione e cabina utente racchiuse all'interno dell'area dell'impianto fotovoltaico circoscritta da recinzione metallica che impedisce l'ingresso di personale non autorizzato; inoltre gli impianti saranno operati in telecontrollo e non è prevista la presenza di persone per più di quattro ore al giorno dal momento se non per interventi di manutenzione ordinaria o straordinaria che mediamente non superano le due ore alla settimana. All'esterno è un'area adibita ad attività agricola priva di fabbricati circostanti.

Ragion per cui si può escludere alcun pericolo per la salute umana.

L'impatto elettromagnetico può pertanto essere considerato non significativo.

## **7. IMPATTI ELETTROMAGNETICI PREVISTI IN FASE DI CANTIERE, ESERCIZIO E RIPRISTINO**

### Fase di cantiere

Questa fase non genera alcun impatto negativo significativo sulla componente dell'elettromagnetismo.

### Fase di esercizio

Nella relazione di compatibilità elettromagnetica sono state calcolate le distanze di prima approssimazione dalle parti di impianto che generano campi elettromagnetici sopra il valore di attenzione di  $3\mu\text{T}$  e si sono definite delle fasce di rispetto da mantenere libera da qualsiasi struttura:

Linee AT interne al campo:	DPA = 2 m (DPA max);
Cabine di trasformazione 3250kVA:	DPA = 7 m (DPA sul solo lato lungo);
Cabine di ricezione:	DPA = 2 m (DPA sul solo lato lungo).

<b>ARNG SOLAR I S.R.L.</b> Viale Giorgio Ribotta, 21 - 00144 Eurosky Tower Int. 0B3 - Roma (RM) C.F e P.IVA: 02328180688 PEC: <a href="mailto:arngsolar@pec.it">arngsolar@pec.it</a>	<b>IMPIANTO AGRIVOLTAICO  ORTA NOVA 36.5</b>		
<b>PROGETTO DEFINITIVO</b>	<b>ORTA NOVA, FOGGIA,  PUGLIA</b>	<b>IN-GE-02  Rev. 0</b>	Pag. <b>35</b> di <b>42</b>

Vista l'ubicazione dell'opera in territori scarsissimamente antropizzati e i cavidotti ubicati su strade esistenti poco trafficate si può certamente escludere la presenza di recettori sensibili entro le menzionate fasce, venendo quindi soddisfatto l'obiettivo di qualità da conseguire nella realizzazione di nuovi elettrodotti fissato dal DPCM 8 Luglio 2003.

Pertanto, nella fase di esercizio l'impatto elettromagnetico può pertanto essere considerato non significativo.

#### Fase di dismissione

Questa fase non genera alcun impatto negativo significativo sulla componente dell'elettromagnetismo.

Viste le distanze di prima approssimazione della relazione di compatibilità elettromagnetica e la notevole distanza dell'impianto dai centri abitati, si può escludere un'esposizione a campi elettromagnetici da parte della popolazione ed affermare che non esiste alcun rischio per la salute pubblica legato alla realizzazione, esercizio e dismissione dell'impianto.

<b>ARNG SOLAR I S.R.L.</b> Viale Giorgio Ribotta, 21 - 00144 Eurosky Tower Int. 0B3 - Roma (RM) C.F e P.IVA: 02328180688 PEC: <a href="mailto:arngsolar@pec.it">arngsolar@pec.it</a>	<b>IMPIANTO AGRIVOLTAICO  ORTA NOVA 36.5</b>		
<b>PROGETTO DEFINITIVO</b>	<b>ORTA NOVA, FOGGIA,  PUGLIA</b>	<b>IN-GE-02  Rev. 0</b>	Pag. <b>36</b> di <b>42</b>

## 8. DEFINIZIONI

### Campo magnetico

Il campo magnetico può essere definito come una perturbazione di una certa regione spaziale determinata dalla presenza nell'intorno di una distribuzione di corrente elettrica o di massa magnetica.

Tale perturbazione si può verificare constatando che ponendo in tale regione spaziale un corpo magnetizzato, questo risulta soggetto ad una forza. L'unità di misura del campo magnetico è l'A/m.

L'induzione magnetica è una grandezza vettoriale (B) che determina una forza agente sulle cariche in movimento ed è espressa in tesla (T). Nello spazio libero e nei materiali biologici l'induzione magnetica e l'intensità del campo magnetico si ricavano in base all'equazione:  $1A/m = 4\pi \cdot 10^{-7} T$ .

### Campo elettrico

Il campo elettrico può essere definito come una perturbazione di una certa regione spaziale determinata dalla presenza nell'intorno di una distribuzione di carica elettrica. Tale perturbazione si può verificare constatando che ponendo in tale regione spaziale una carica elettrica, questa risulta soggetta ad una forza.

L'unità di misura del campo elettrico è il V/m.

### Campo elettromagnetico

Un campo elettrico variabile nel tempo genera, in direzione perpendicolare a sé stesso, un campo magnetico pure variabile che, a sua volta, influisce sul campo elettrico stesso. Questi campi concatenati determinano nello spazio la propagazione di un campo elettromagnetico. È importante la distinzione tra campo vicino e campo lontano. La differenza consiste essenzialmente nel fatto che in prossimità della sorgente irradiante, cioè in condizioni di campo vicino, il campo elettrico ed il campo magnetico assumono rapporti variabili con la distanza, mentre ad una certa distanza, cioè in campo lontano, il rapporto tra campo elettrico e campo magnetico rimane costante.

ELF è la terminologia anglosassone per definire i campi elettromagnetici a frequenze estremamente basse, comprese tra 30 Hz e 300 Hz.

L'esposizione a campi ELF dovuta ad una determinata sorgente è valutabile misurando separatamente l'entità del campo elettrico e del campo magnetico. Questo perché alle frequenze estremamente basse, le caratteristiche fisiche dei campi sono più simili a quelle dei campi statici, piuttosto che a quelle dei campi elettromagnetici veri e propri. I campi ELF sono quindi caratterizzati da due entità distinte: il campo elettrico, generato

<b>ARNG SOLAR I S.R.L.</b> Viale Giorgio Ribotta, 21 - 00144 Eurosky Tower Int. 0B3 - Roma (RM) C.F e P.IVA: 02328180688 PEC: <a href="mailto:arngsolar@pec.it">arngsolar@pec.it</a>	<b>IMPIANTO AGRIVOLTAICO  ORTA NOVA 36.5</b>		
<b>PROGETTO DEFINITIVO</b>	<b>ORTA NOVA, FOGGIA,  PUGLIA</b>	<b>IN-GE-02  Rev. 0</b>	Pag. 37 di 42

dalla presenza di cariche elettriche o tensioni, ed il campo magnetico, generato invece dalle correnti elettriche.

### Intensità di corrente (J)

È definita come il flusso di corrente attraverso una sezione unitaria perpendicolare alla sua direzione in un volume conduttore quale il corpo umano o una sua parte. È espressa in ampere per metro quadro (A/m<sup>2</sup>).

### Intensità di campo elettrico

È una grandezza vettoriale (E) che corrisponde alla forza esercitata su una particella carica indipendentemente dal suo movimento nello spazio. È espressa in Volt per metro (V/m).

### Intensità di campo magnetico

È una grandezza vettoriale (H) che, assieme all'induzione magnetica, specifica un campo magnetico in qualunque punto dello spazio. È espressa in Ampere per metro (A/m).

### Induzione magnetica

È una grandezza vettoriale (B) che determina una forza agente sulle cariche in movimento. È espressa in Tesla (T). Nello spazio libero e nei materiali biologici l'induzione magnetica e l'intensità del campo magnetico sono legate dall'equazione  $1A\ m^{-1} = 4\pi\ 10^{-7}\ T$ .

### Densità di potenza (S)

Questa grandezza si impiega nel caso delle frequenze molto alte, per le quali la profondità di penetrazione nel corpo è modesta. Si tratta della potenza radiante incidente perpendicolarmente a una superficie, divisa per l'area della superficie in questione ed è espressa in watt per metro quadro (W/m<sup>2</sup>).

### Assorbimento specifico di energia (SA)

Si definisce mediante l'energia assorbita per unità di massa di tessuto biologico e si esprime in joule per chilogrammo (J/kg). Nella presente raccomandazione il termine si impiega per limitare gli effetti non termici derivanti da esposizioni a microonde pulsate.

<b>ARNG SOLAR I S.R.L.</b> Viale Giorgio Ribotta, 21 - 00144 Eurosky Tower Int. 0B3 - Roma (RM) C.F e P.IVA: 02328180688 PEC: <a href="mailto:arngsolar@pec.it">arngsolar@pec.it</a>	<b>IMPIANTO AGRIVOLTAICO  ORTA NOVA 36.5</b>		
<b>PROGETTO DEFINITIVO</b>	<b>ORTA NOVA, FOGGIA,  PUGLIA</b>	<b>IN-GE-02  Rev. 0</b>	Pag. <b>38</b> di <b>42</b>

### Tasso di assorbimento specifico di energia (SAR)

Si tratta del valore mediato su tutto il corpo o su alcune parti di esso, del tasso di assorbimento di energia per unità di massa del tessuto corporeo ed è espresso in watt per chilogrammo (W/kg). Il SAR riferito a tutto il corpo è una misura ampiamente accettata per porre in rapporto gli effetti termici nocivi all'esposizione a RF. Oltre al valore del SAR mediato su tutto il corpo, sono necessari anche valori locali del SAR per valutare e limitare la deposizione eccessiva di energia in parti piccole del corpo conseguenti a speciali condizioni di esposizione, quali ad esempio il caso di un individuo in contatto con la terra, esposto a RF nella gamma inferiore di MHz e di individui esposti nel campo vicino di un'antenna.

### Linea

Le linee corrispondono ai collegamenti con conduttori elettrici aerei o in cavo, delimitati da organi di manovra, che permettono di unire due o più impianti allo stesso livello di tensione. Le linee a tre o a più estremi sono sempre definite come più tronchi di linea a due stremi. Gli organi di manovra connettono tra loro componenti delle reti (es. interruttori, sezionatori, ecc.) e permettono di interrompere il passaggio di corrente.

### Elettrodotto

È l'insieme delle linee elettriche, delle sottostazioni e delle cabine di trasformazione.

### Tronco

I tronchi di linea corrispondono ai collegamenti metallici che permettono di unire fra loro due impianti gestiti allo stesso livello di tensione (compresi gli allacciamenti). Si definisce tronco fittizio il tronco che unisce due impianti adiacenti.

### Tratta

La tratta è una porzione di tronco di linea, composto da una sequenza di campate contigue, avente caratteristiche omogenee di tipo elettrico, di tipo meccanico (es. tipologia del conduttore, configurazione spaziale dei conduttori sui tralicci, tratta singola, doppia, ammazettata, ecc.) e relative alla proprietà e appartenenza alla RTN (Rete di Trasmissione Nazionale). Ad ogni variazione delle caratteristiche si individua una nuova tratta.

<b>ARNG SOLAR I S.R.L.</b> Viale Giorgio Ribotta, 21 - 00144 Eurosky Tower Int. 0B3 - Roma (RM) C.F e P.IVA: 02328180688 PEC: <a href="mailto:arngsolar@pec.it">arngsolar@pec.it</a>	<b>IMPIANTO AGRIVOLTAICO  ORTA NOVA 36.5</b>		
<b>PROGETTO DEFINITIVO</b>	<b>ORTA NOVA, FOGGIA,  PUGLIA</b>	<b>IN-GE-02  Rev. 0</b>	Pag. <b>39</b> di <b>42</b>

### Campata

La campata è l'elemento minimo di una linea elettrica; è sottesa tra due sostegni o tra un sostegno e un portale (ultimo sostegno già all'interno dell'impianto).

### Sostegni

Il sostegno è l'elemento di supporto meccanico della linea aerea in conduttori nudi o in cavo. I sostegni, i sostegni porta terminali ed i portali possono essere costituiti da pali o tralicci.

### Impianto

Nell'ambito di una rete elettrica l'impianto corrisponde ad un'officina elettrica destinata, simultaneamente o separatamente, alla produzione, allo smistamento, alla regolazione e alla modifica (trasformazione e/o conversione) dell'energia elettrica transitante in modo da renderla adatta a soddisfare le richieste della successiva fase di destinazione. Gli impianti possono essere: Centrali di produzione, Stazioni elettriche, Cabine di trasformazione primarie e secondarie, Cabine Utente AT. Inoltre, rientrano in questa categoria anche quelle stazioni talvolta chiamate di Allacciamento.

### Corrente

Valore efficace dell'intensità di corrente elettrica.

### Portata in corrente in servizio normale

È la corrente che può essere sopportata da un conduttore per il 100% del tempo con limiti accettabili del rischio di scarica sugli oggetti mobili e sulle opere attraversate e dell'invecchiamento. Essa è definita nella norma CEI 11-60 par. 2.6 e sue successive modifiche e integrazioni.

### Portata in regime permanente

Massimo valore della corrente che, in regime permanente e in condizioni specificate, il conduttore può trasmettere senza che la sua temperatura superi un valore specificato (secondo CEI 11-17 par. 1.2.05).

### Fascia di rispetto

È lo spazio circostante un elettrodotto, che comprende tutti i punti, al di sopra e al di sotto del livello del suolo, caratterizzati da un'induzione magnetica di intensità maggiore o uguale all'obiettivo di qualità. Come prescritto dall'articolo 4, comma I lettera h della Legge Quadro n. 36 del 22

<b>ARNG SOLAR I S.R.L.</b> Viale Giorgio Ribotta, 21 - 00144 Eurosky Tower Int. 0B3 - Roma (RM) C.F e P.IVA: 02328180688 PEC: <a href="mailto:arngsolar@pec.it">arngsolar@pec.it</a>	<b>IMPIANTO AGRIVOLTAICO ORTA NOVA 36.5</b>		
<b>PROGETTO DEFINITIVO</b>	<b>ORTA NOVA, FOGGIA, PUGLIA</b>	<b>IN-GE-02 Rev. 0</b>	Pag. <b>40</b> di <b>42</b>

febbraio 2001, all'interno delle fasce di rispetto non è consentita alcuna destinazione di edifici ad uso residenziale, scolastico, sanitario ovvero ad uso che comporti una permanenza non inferiore a quattro ore.

### Distanza di prima approssimazione (DPA)

Per le linee è la distanza, in pianta sul livello del suolo, dalla proiezione del centro linea che garantisce che ogni punto la cui proiezione al suolo disti dalla proiezione del centro linea più di Dpa si trovi all'esterno delle fasce di rispetto. Per le cabine è la distanza, in pianta sul livello del suolo, da tutte le pareti della cabina stessa che garantisce i requisiti di cui sopra.

### Esposizione

È la condizione di una persona soggetta a campi elettrici, magnetici, elettromagnetici, o a correnti di contatto, di origine artificiale;

### Limite di esposizione

È il valore di campo elettrico, magnetico ed elettromagnetico, considerato come valore di immissione, definito ai fini della tutela della salute da effetti acuti, che non deve essere superato in alcuna condizione di esposizione della popolazione. I valori limite di esposizione per la popolazione sono invece richiamati dalla Legge Quadro, e sono stati indicati con apposito decreto D.P.C.M. 08.07.2003, che prevede il rispetto dei seguenti valori: nel caso di esposizione a campi elettrici e magnetici alla frequenza di 50 Hz generati da elettrodotti, non deve essere superato il limite di esposizione di 100  $\mu$ T per l'induzione magnetica e 5 kV/m per il campo elettrico, intesi come valori efficaci.

### Valore di attenzione

È il valore di campo elettrico, magnetico ed elettromagnetico, considerato come valore di immissione, che non deve essere, superato negli ambienti abitativi, scolastici e nei luoghi adibiti a permanenze prolungate.

Esso costituisce misura di cautela ai fini della protezione da possibili effetti a lungo termine e deve essere raggiunto nei tempi e nei modi previsti dalla legge.

### Obiettivi di qualità

Sono i criteri localizzativi, gli standard urbanistici, le prescrizioni e le incentivazioni per l'utilizzo delle migliori tecnologie disponibili, indicati dalle leggi regionali secondo le competenze definite dall'articolo 8 della L.36/2001; sono anche i valori di campo elettrico, magnetico ed

<b>ARNG SOLAR I S.R.L.</b> Viale Giorgio Ribotta, 21 - 00144 Eurosky Tower Int. 0B3 - Roma (RM) C.F e P.IVA: 02328180688 PEC: <a href="mailto:arngsolar@pec.it">arngsolar@pec.it</a>	<b>IMPIANTO AGRIVOLTAICO  ORTA NOVA 36.5</b>		
<b>PROGETTO DEFINITIVO</b>	<b>ORTA NOVA, FOGGIA,  PUGLIA</b>	<b>IN-GE-02  Rev. 0</b>	Pag. <b>41</b> di <b>42</b>

elettromagnetico, definiti dallo Stato secondo le previsioni di cui all'articolo 4, comma 1, lettera a) della medesima legge, ai fini della progressiva minimizzazione dell'esposizione ai campi medesimi;

### Limiti di base

Le limitazioni all'esposizione ai campi elettrici magnetici ed elettromagnetici variabili nel tempo, che si fondano direttamente su effetti accertati sulla salute e su considerazioni di ordine biologico, sono denominate «limiti di base». In base alla frequenza del campo, le quantità fisiche impiegate per specificare tali limitazioni sono: la densità di flusso magnetico (B), la densità di corrente (J), il tasso di assorbimento specifico di energia (SAR), e la densità di potenza (S). La densità di flusso magnetico e la densità di potenza negli individui esposti possono essere misurate rapidamente.

### Livelli di riferimento

Questi livelli sono indicati a fini pratici di valutazione dell'esposizione in modo da determinare se siano probabili eventuali superamenti dei limiti di base. Alcuni livelli di riferimento sono derivati dai limiti di base fondamentali attraverso misurazioni e/o tecniche informatiche e alcuni livelli di riferimento si riferiscono alla percezione e agli effetti nocivi indiretti dell'esposizione ai campi elettromagnetici. Le quantità derivate sono: l'intensità di campo elettrico (E), l'intensità di campo magnetico (H), la densità del flusso magnetico (B), la densità di potenza (S) e la corrente su un arto (IL). Le grandezze che si riferiscono alla percezione e agli altri effetti indiretti sono la corrente (di contatto) (Ic) e, per i campi pulsati, l'assorbimento specifico di energia (SA). In qualunque situazione particolare di esposizione, i valori misurati o calcolati di una delle quantità sopra citate possono essere confrontati al livello di riferimento appropriato. L'osservanza del livello di riferimento garantirà il rispetto delle restrizioni fondamentali corrispondenti. Se il valore misurato supera il livello di riferimento, non ne consegue necessariamente che sia superata la restrizione fondamentale. In tali circostanze, tuttavia, vi è la necessità di definire se il limite di base sia o meno rispettato.

<b>ARNG SOLAR I S.R.L.</b> Viale Giorgio Ribotta, 21 - 00144 Eurosky Tower Int. 0B3 - Roma (RM) C.F e P.IVA: 02328180688 PEC: <a href="mailto:arngsolar@pec.it">arngsolar@pec.it</a>	<b>IMPIANTO AGRIVOLTAICO  ORTA NOVA 36.5</b>		
<b>PROGETTO DEFINITIVO</b>	<b>ORTA NOVA, FOGGIA,  PUGLIA</b>	<b>IN-GE-02  Rev. 0</b>	Pag. <b>42</b> di <b>42</b>

## 9. ALLEGATO: DOCUMENTO DI VALIDAZIONE SOFTWARE "MAGIC" DI BESHIELDING



## Documento di Validazione

# Algoritmi di calcolo del software MAGIC<sup>®</sup> (MAGnetic Induction Calculation)

Revisione	Data	Elaborato	Approvato
05	11/01/2021	M.F.	S.G.
00 Emissione	07/01/2014	D.B.	M.M.

## Sommario

Premessa.....	3
1 Verifica del modulo bidimensionale.....	3
1.1 Confronto con CEI 211-04.....	3
1.2 Confronto con codice CESI.....	4
2 Verifica del modulo tridimensionale.....	7
2.1 Campo prodotto da un segmento finito arbitrariamente orientato.....	7
2.2 Validazione sperimentale del modulo tridimensionale.....	8
3 Verifica del modulo tridimensionale:trasformatore di potenza.....	9
3.1 Verifica del modello MAGIC della singola colonna del trasformatore con modello FEM (Finite Element Method).....	9
3.2 Verifica del modello MAGIC del trasformatore completo con misure sperimentali	12
Conclusioni.....	13

## Premessa

Il presente documento riporta le verifiche funzionali del software MAGIC® attraverso il confronto con software già esistenti e di comprovata validità e con rilievi sperimentali.

Il confronto si sviluppa in tre parti:

- 1) verifica del modulo bidimensionale
- 2) verifica del modulo tridimensionale
- 3) verifica del modulo tridimensionale di configurazioni impiantistiche con particolare riferimento al trasformatore di potenza

Le principali caratteristiche del software MAGIC® sono:

- a) software bi-tridimensionale
- b) integrazione della formula di Biot-Savart
- c) dominio infinito (nessuna condizione al contorno necessaria)
- d) trascurati effetti di mitigazione del campo dovuto a schermatura di fatto (analisi conservativa)
- e) sovrapposizione degli effetti
- f) analisi in regime simbolico (calcolo dei moduli e delle fasi)

Il software è stato sviluppato da tecnici specializzati con la collaborazione e la supervisione di docenti e ricercatori del Politecnico di Torino – Dipartimento Energia (prof. Aldo Canova e Ing. Luca Giaccone).

## 1 Verifica del modulo bidimensionale

La verifica del modulo bidimensionale è stata condotta mediante confronto con la formulazione analitica, come indicato dalla CEI 211-04, e mediante confronto con un codice di calcolo sviluppato dal CESI.

### 1.1 Confronto con CEI 211-04

Una possibile validazione del programma utilizzato può essere effettuata confrontando il campo calcolato con il programma stesso e quello calcolato per via analitica, secondo la norma CEI 211-4 paragrafo 4.3, su di un caso in cui questa seconda procedura è applicabile in modo esatto. Tale caso si riferisce ad un sistema di conduttori rettilinei, paralleli e indefiniti.

Sotto queste ipotesi l'induzione magnetica  $\mathbf{B}$  è data dall'espressione:

$$\mathbf{B} = \frac{\mu_0}{2\pi} \sum_{k=1}^N \frac{\bar{I}_k}{d_k} \bar{u}_l \times \bar{u}_r \quad (1)$$

in cui  $N$  è il numero dei conduttori,  $d$  è la distanza tra il conduttore  $k$ -esimo e il punto di calcolo; i vettori  $\bar{u}_l$  e  $\bar{u}_r$  indicano, rispettivamente, il verso della corrente e della relativa normale;  $\times$  indica il prodotto vettoriale.

In particolare è stato analizzato il caso, che verrà riportato successivamente, relativo ad una linea a doppia terna su semplice palificazione con corrente di 310 A. Come si può osservare dalla figura 1, le due curve sono praticamente coincidenti.

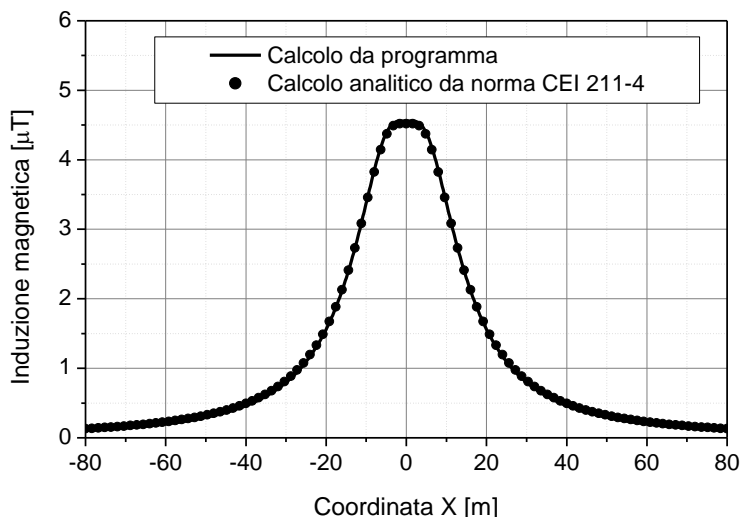


Figura 1: Induzione magnetica al suolo in prossimità di una linea aerea a doppia terna su semplice palificazione con corrente di 310: confronto tra MAGIC® e formula analitica CEI 211-4

**Come si può osservare il profilo di induzione magnetica ottenuto dal software MAGIC® coincide esattamente con i punti calcolati mediante la formula analitica CEI 211-4.**

## 1.2 Confronto con codice CESI

L'analisi del campo magnetico prodotto è stata condotta su due terne trifase di cavi affiancate. Le sezioni di affiancamento riguardano (Fig. 2):

- Buca giunti (interasse 70 cm e livello di interramento pari a 1.25 m)
- Formazione piana (interasse 35 cm e livello di interramento pari a 1.25 m)
- Distanza tra le due terne: 4m

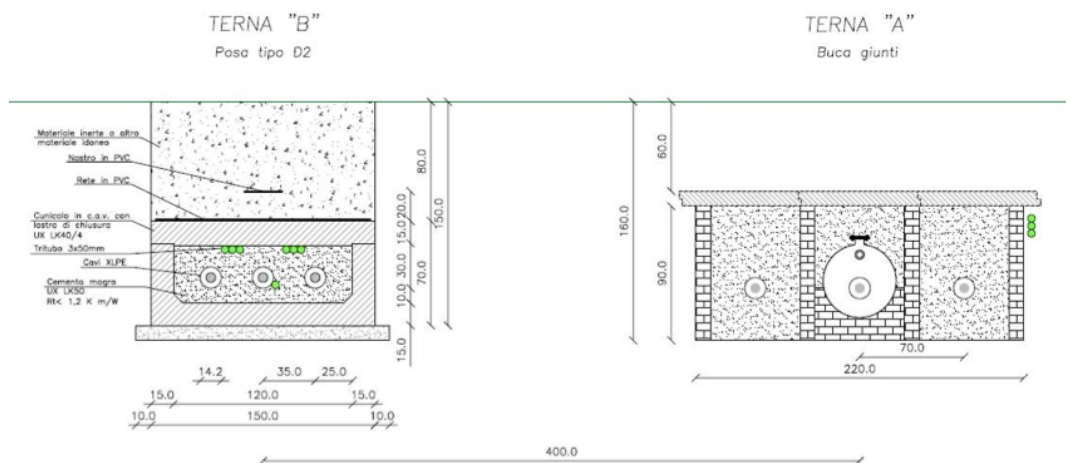


Figura 2: Affiancamento tra due linee interrate AT

Condizioni di carico e relazioni di fase:

- Terna B:  $I_{eff} = 1500$  A (RST)
- Terna A:  $I_{eff} = 1500$  A (TSR)

La configurazione analizzata mediante il codice sviluppato dal CESI porta alla distribuzione di campo riportata in Figura 3.

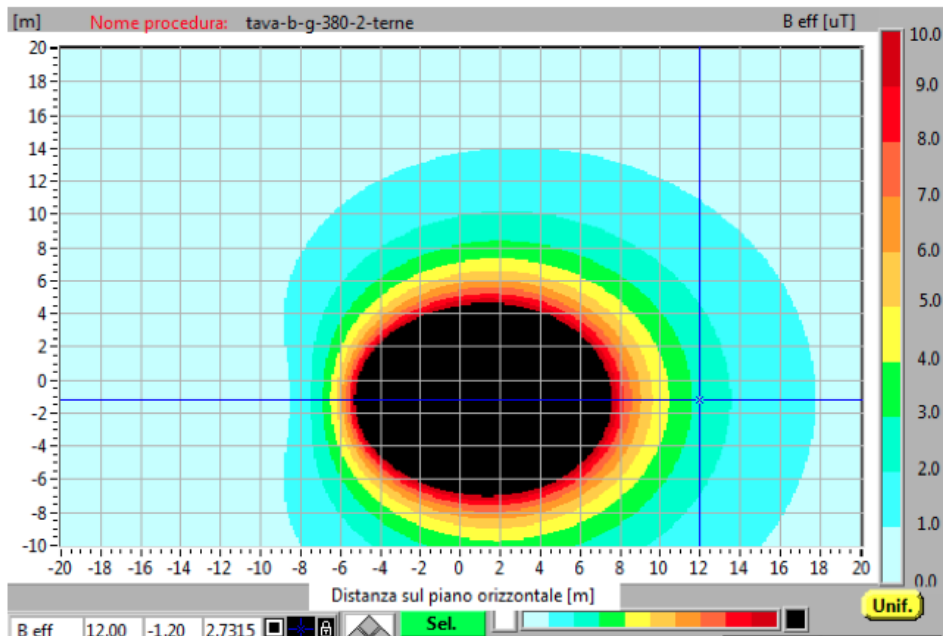


Figura 3: Mappa cromatica delle induzioni magnetiche calcolata mediante software CESI

La stessa configurazione è stata analizzata mediante il codice MAGIC<sup>®</sup> e può essere studiata attraverso due possibili funzioni messe a disposizione dal software:

- Terne parallele
- Multiconduttori 2D

In questo documento verrà utilizzato il Multiconduttore 2D (Fig. 4) che permette di definire un sistema di N conduttori posizionati arbitrariamente in cui viene applicata una corrente arbitraria.

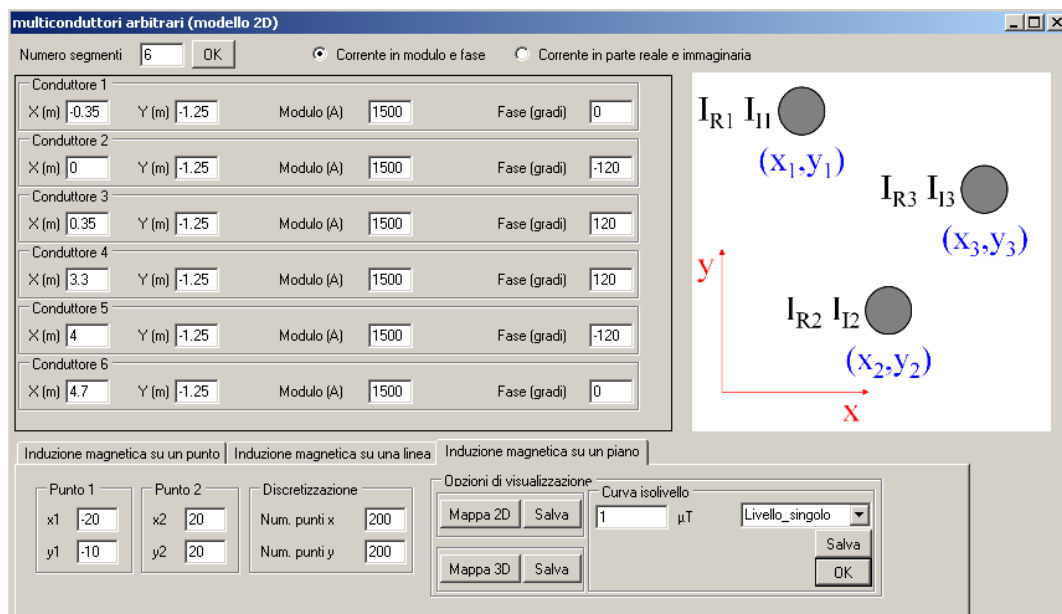


Figura 4: Schermata di ingresso modulo “multiconduttori arbitrari (modello 2D)”: dati definizione geometria e sorgenti

Nella seguente Fig. 5 è riportata la “geometria” del sistema che può essere visualizzata al termine dell’inserimento dati.

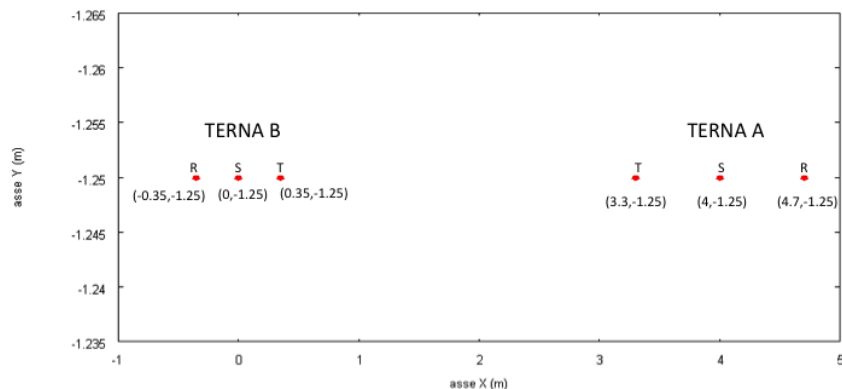


Figura 5: Geometria sorgenti

In Fig. 6 è riportata la mappa cromatica dell’induzione magnetica ottenuta dal software MAGIC® (valori in microT):

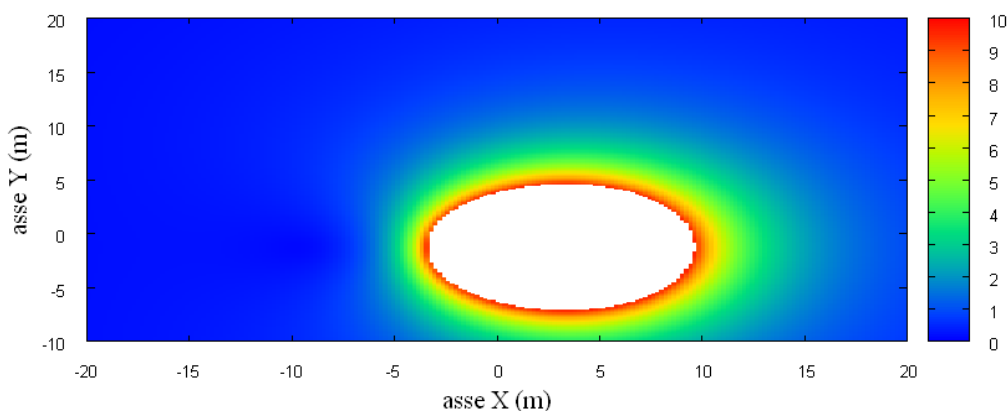


Fig. 6: Mappa cromatica dell’induzione magnetica ottenuta dal software MAGIC® (valori in microT):

In Fig. 7 sono riportate le linee isolivello dell’induzione magnetica (1, 3, 10, 100 microT) visualizzabili dal software MAGIC®.

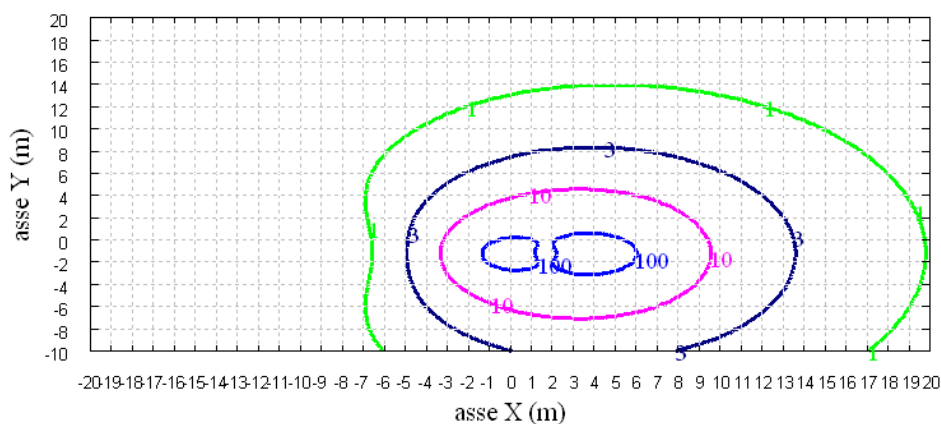
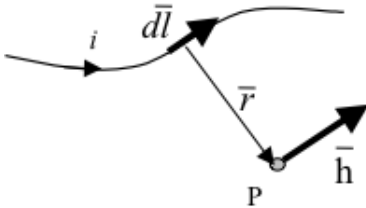


Fig. 7 Linee isolivello dell’induzione magnetica (1, 3, 10, 100 microT) da software MAGIC®.

**Come si può osservare le mappe cromatiche dei due modelli risultano essere in perfetto accordo.**

## 2 Verifica del modulo tridimensionale

Il modulo tridimensionale del MAGIC® si basa principalmente sull'integrazione della formula di Biot-Savart:

$\vec{h} = \int \frac{i d\vec{l} \times \vec{r}}{4\pi r^3}$	
---	--

Nelle configurazioni impiantistiche si ha spesso a che fare con fasci di cavi che il cui profilo copre percorsi approssimabili con buona precisione a delle spezzate tridimensionali. Ogni spezzata è quindi modellabile mediante una successione di segmenti opportunamente orientati nello spazio. Ne consegue che, sapendo valutare il campo di un segmento arbitrariamente orientato nello spazio, è possibile calcolare il campo prodotto da un fascio di cavi mediante la sovrapposizione degli effetti di tutti i segmenti costituenti il fascio.

### 2.1 Campo prodotto da un segmento finito arbitrariamente orientato

Si consideri il segmento rappresentato nella Fig. 8.

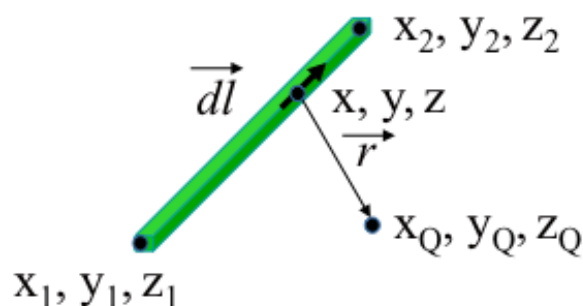


Fig. 8: Modello del segmento.

L'equazione del segmento in forma parametrica diventa la seguente:

$$\hat{x} = x_1 + (x_2 - x_1)t$$

$$\hat{y} = y_1 + (y_2 - y_1)t$$

$$\hat{z} = z_1 + (z_2 - z_1)t$$

Si consideri inoltre che:

$$\vec{r} = (x_Q - x)\vec{a}_x + (y_Q - y)\vec{a}_y + (z_Q - z)\vec{a}_z$$

$$d\vec{l} = dx\vec{a}_x + dy\vec{a}_y + dz\vec{a}_z$$

Facendo le opportune sostituzioni, la formula di Biot-Savart può essere risolta conducendo ad una formula chiusa per il calcolo delle tre componenti di campo  $H_x$ ,  $H_y$  e  $H_z$  (ovvero  $B_x$ ,  $B_y$  e  $B_z$ ). L'integrazione, sebbene sia macchinosa e porti ad espressioni analitiche poco compatte, può essere semplicemente risolta mediante l'utilizzo di un processore simbolico. Per tutti i dettagli circa l'integrazione si consideri la seguente referenza:

Canova A.; F. Freschi; M. Repetto; M. Tartaglia, (2005), *Description of Power Lines by Equivalent Source System*. In: COMPEL, vol. 24, pp. 893-905. - ISSN 0332-1649

## 2.2 Validazione sperimentale del modulo tridimensionale

In Fig. 9 viene rappresentata una spira costituita da 4 conduttori rettilinei che ben rappresenta una sorgente di tipo tridimensionale.

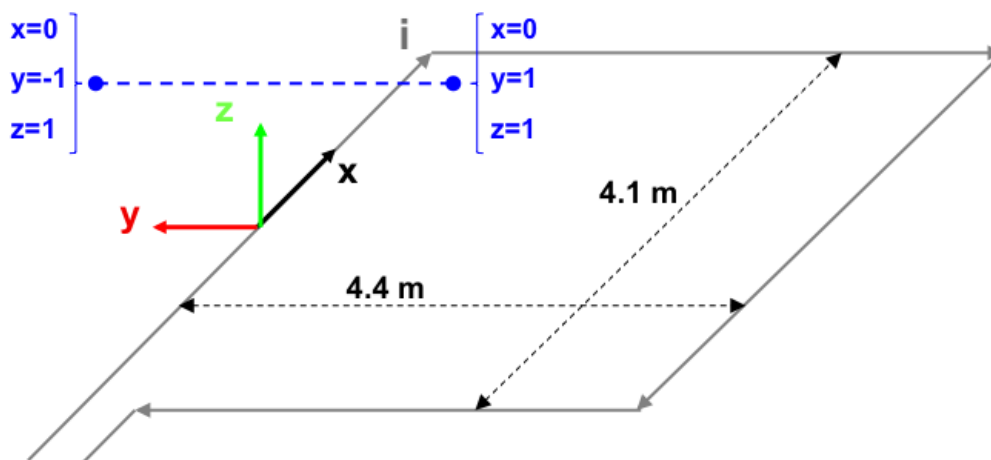


Fig. 9: Schema di spira quadrata.

Nella stessa immagine viene rappresentata una linea di confronto con le seguenti caratteristiche:

- È posta a 1 m da terra →  $z = \text{costante} = 1 \text{ m}$
- Si estenda lungo l'asse  $y$  →  $x = \text{costante} = 0 \text{ m}$
- È lunga due metri: →  $y \text{ minimo} = -1 \text{ m}$ ,  $y \text{ massimo} = 1 \text{ m}$

Su tale linea di confronto sono state eseguite delle misure sperimentali mediante sistema composto da sonda PMM-EHP50 C le cui caratteristiche sono riportate nel seguente elenco:

- Range di frequenze 5Hz – 100 kHz
- Range di campo elettrico 0.01 V/m – 100 kV/m
- Range di campo magnetico 1 nT – 10 mT
- Risoluzione 0.01 V/m - 1 nT
- Tempo di campionamento 30, 60 sec
- Massima acquisizione 1600 ore con acquisizione ogni 60 sec.
- SPAN 100, 200,500 Hz, 1 kHz, 2 kHz, 10 kHz, 100 kHz

Viene infine eseguito il confronto tra misure sperimentali e calcolo eseguito mediante software MAGIC<sup>®</sup>. I risultati di confronto sono riassunti nella seguente figura.

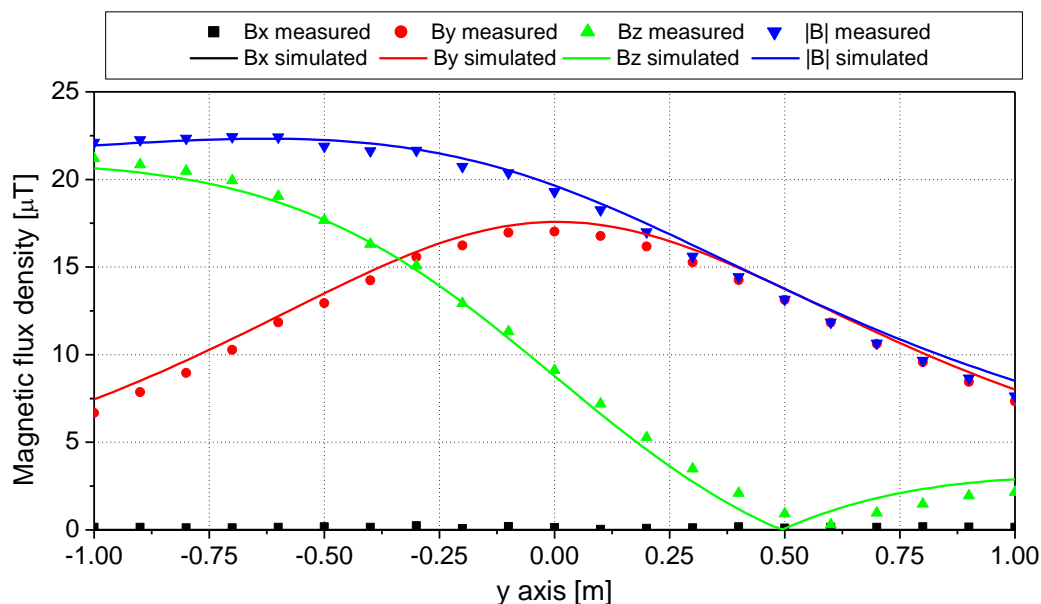


Fig. 10: Induzione magnetica misurata e calcolata mediante software MAGIC®.

***Si dimostra quindi che le misure sperimentali sono in perfetto accordo con il modello implementato nel software MAGIC®.***

### 3 Verifica del modulo tridimensionale:trasformatore di potenza

In questa sezione vengono riportati i principali risultati ottenuti utilizzando il software MAGIC® nella simulazione dei campi generati da un trasformatore in resina (il trasformatore in olio rappresenta una situazione semplificata rispetto a quello in resina).

La validazione è condotta in due step:

- Verifica del modello MAGIC della singola colonna del trasformatore con modello FEM (Finite Element Method)
- Verifica del modello MAGIC del trasformatore completo con misure sperimentali

Maggiore dettaglio sui confronti sono riportati nella seguente referenza:

*A. Canova, L. Giaccone, M. Manca, R. Turri, P. Casagrande, "Simplified power transformer models for environmental magnetic impact analysis", 2° Int. Conf. on EMF-ELF, Paris, 24-25 Marzo 2011.*

#### ***3.1 Verifica del modello MAGIC della singola colonna del trasformatore con modello FEM (Finite Element Method)***

MAGIC® propone due diversi modelli per il trasformatore: il primo di tipo semplificato e valido a partire da circa 0.5-1m dal trasformatore, il secondo più rigoroso valido anche a piccole distanze dal trasformatore. Nel seguito i due modelli verranno indicati come Modello 1 e Modello 2.

Un primo confronto tra i due modelli è stato effettuato con un codice agli elementi finiti (FEMM) di tipo assialsimmetrico. In Figura 11 sono riportate le principali dimensioni del caso analizzato: avvolgimento primario e secondario di un trasformatore di 630 kVA in resina e l'indicazione delle linee di calcolo.

Nei calcoli che seguono i due avvolgimenti sono caratterizzati dalle stesse amperspire in opposizione ( $N1 \cdot I1 = N2 \cdot I2$ ) e verranno considerate, come sorgenti, le correnti nominali.

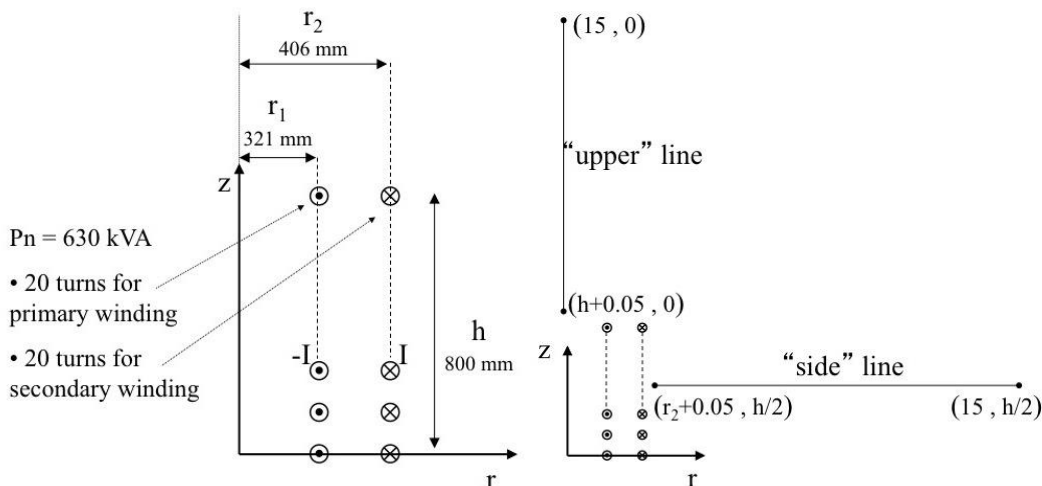


Fig. 11. Geometria del sistema (1) e linee di calcolo (2)

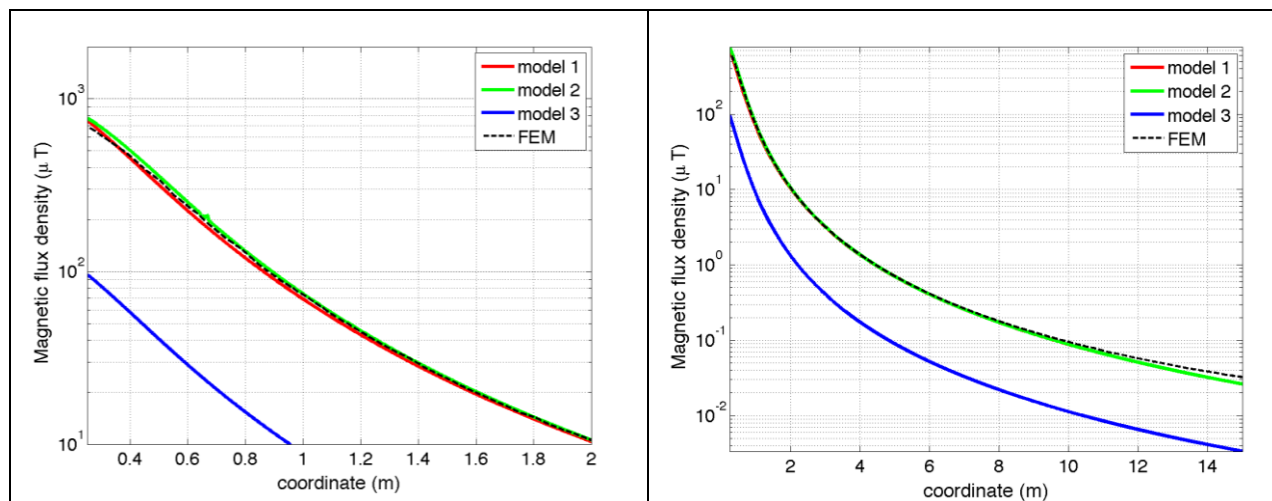
Le Fig. 12 e 13 mostrano, rispettivamente, i valori di induzione magnetica lungo la linea ad 1m dal lato degli avvolgimenti e lungo la linea ad 1.5 m sopra gli avvolgimenti. Le figure mettono a confronto il “modello 1 e 2” ed il calcolo, assunto come riferimento, effettuato mediante codice FEM.

**Si può osservare un ottimo accordo tra i “modelli 1 e 2” adottati nel MAGIC® lungo entrambe le linee mentre per distanze inferiori al metro il modello semplificato, con particolare riferimento al campo lungo la linea verticale, risulta portare a delle discrepanze significative. Per tali distanze è pertanto conveniente utilizzare il “modello 2” che risulta più accurato a spese di un maggiore peso computazionale (nell’ordine comunque delle decine di secondi).**

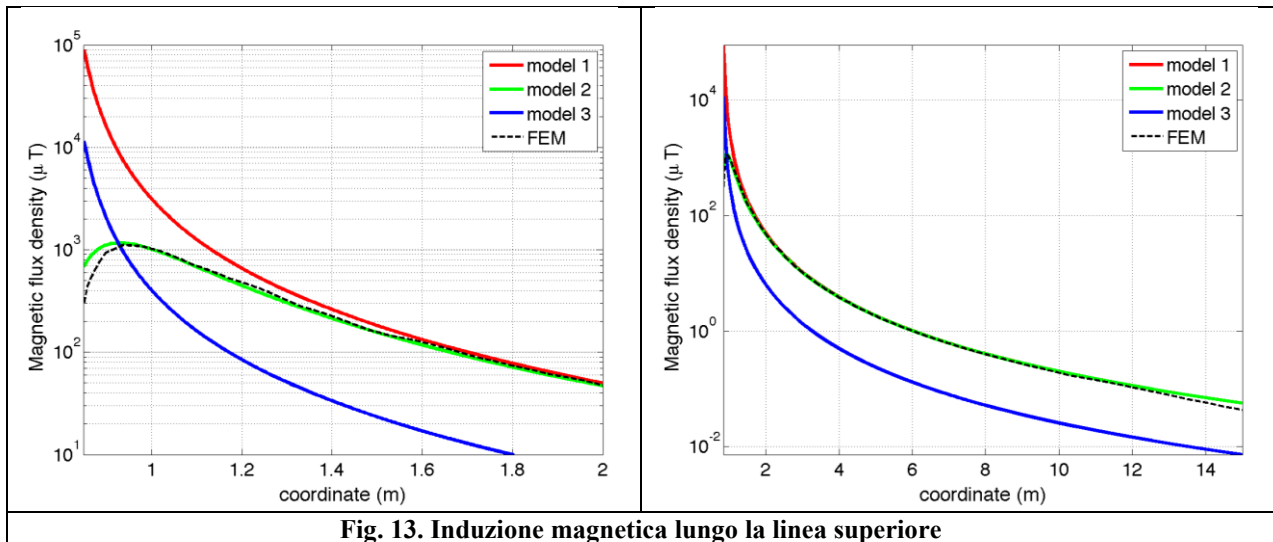
I modelli inseriti nel MAGIC® sono inoltre confrontati con il modello proposto da un altro software commerciale (EFC-400) che verrà denominato “Modello 3”. Tale modello è basato sull’ipotesi che il campo magnetico disperso, essendo correlato con la reattanza di dispersione del trasformatore, risulta quantitativamente correlato alla tensione di corto circuito. Il modello proposto da EFC-400 è quindi costituito da un unico avvolgimento (che sintetizza il primario ed il secondario) percorso da una corrente ridotta, rispetto alla corrente nominale, secondo la seguente formula:

$$I = I_R \cdot \frac{V_{SC} \%}{100} \quad (14)$$

in cui  $I_R$  è la corrente nominale (di primario o secondario) e  $V_{SC}$  è la tensione di cortocircuito percentuale. Può essere utilizzata la corrente di primario o di secondario ( $I_{R1}$  o  $I_{R2}$ ) e corrispondentemente occorre considerare le spire di primario o secondario ( $N_1$  e  $N_2$ ).



**Fig. 12. Induzione magnetica lungo la linea laterale**



**Fig. 13. Induzione magnetica lungo la linea superiore**

Come si può osservare dai profili di induzione magnetica il modello 3 risulta scarsamente idoneo a modellare i due avvolgimenti concentrici di primario e secondario.

### 3.2 Verifica del modello MAGIC del trasformatore completo con misure sperimentali

In questo paragrafo il modelli vengono confrontati con dati sperimentali. Il caso analizzato si riferisce ad un trasformatore in resina da 630 kVA, 15kV/400V, funzionante in condizioni di corto circuito (Fig. 14). Il trasformatore viene alimentato con una tensione che fa circolare negli avvolgimenti una corrente pari al 42% della corrente nominale, si ha quindi 10.4 A di primario (lato MT) e 390 A di secondario (lato BT). Il modello del trasformatore risulta quindi completo e costituito da tutti gli avvolgimenti delle tre fasi.

Le linee di calcolo S1 ed S2 (Fig. 15) sono poste ad 1.5m dal piano di appoggio del trasformatore. E' importante sottolineare che il contributo dei terminali di BT influisce significativamente il campo magnetico ambientale, specialmente nella direzione S1. Pertanto, l'introduzione di tali sorgenti aggiuntive agli avvolgimenti porta ad una riduzione degli scostamenti tra i vari modelli.

In Fig. 16 e 17 sono riportati i confronti tra le induzioni magnetiche, lungo le linee S1 ed S2, misurate e calcolate con i diversi modelli.

**Come si può osservare, in particolare per la linea S2 (dove il contributo delle connessioni è trascurabile) il modello 1 ed il modello 2 approssimano in modo soddisfacente i dati sperimentali.**

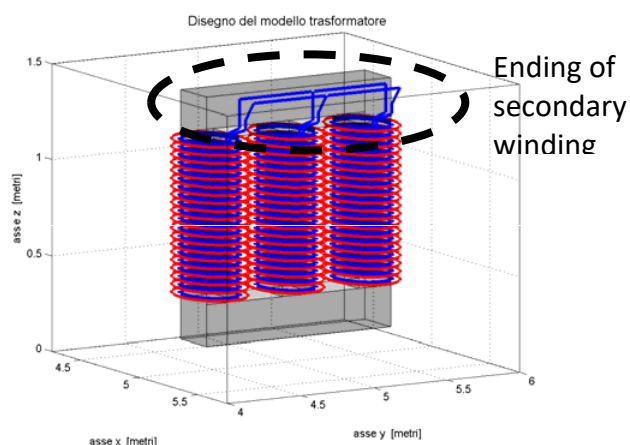


Fig. 14: Connessioni elettriche considerate al lati BT.

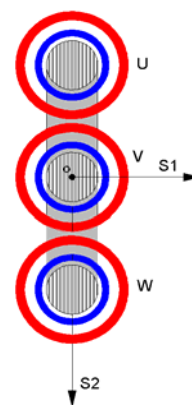


Fig. 15: Linee di calcolo S1 ed S2

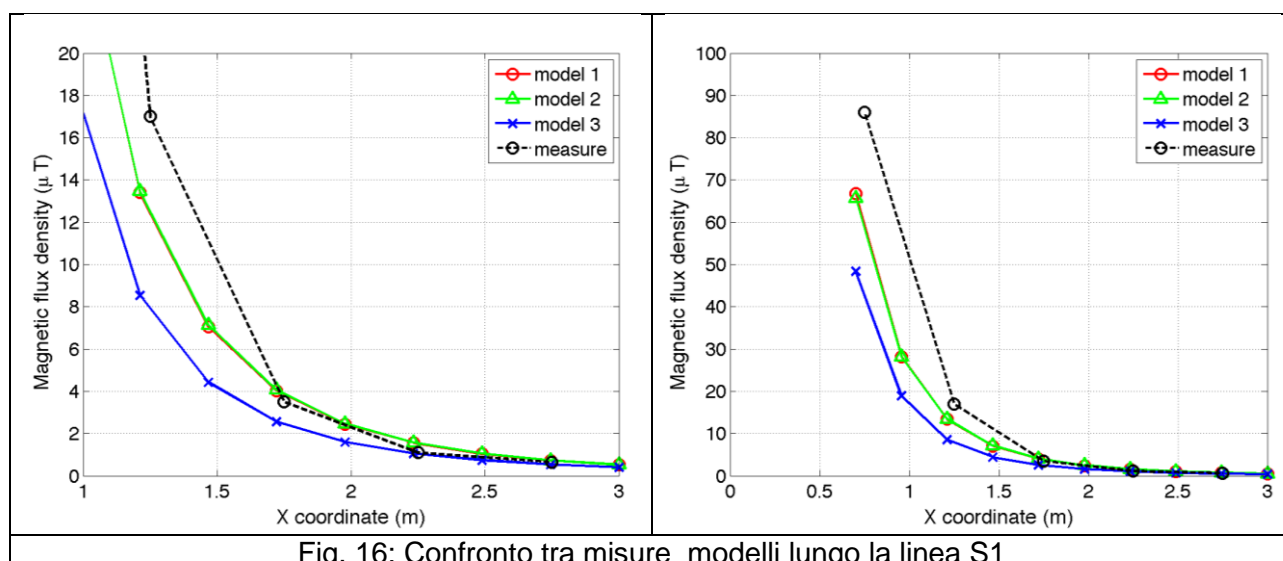


Fig. 16: Confronto tra misure modelli lungo la linea S1

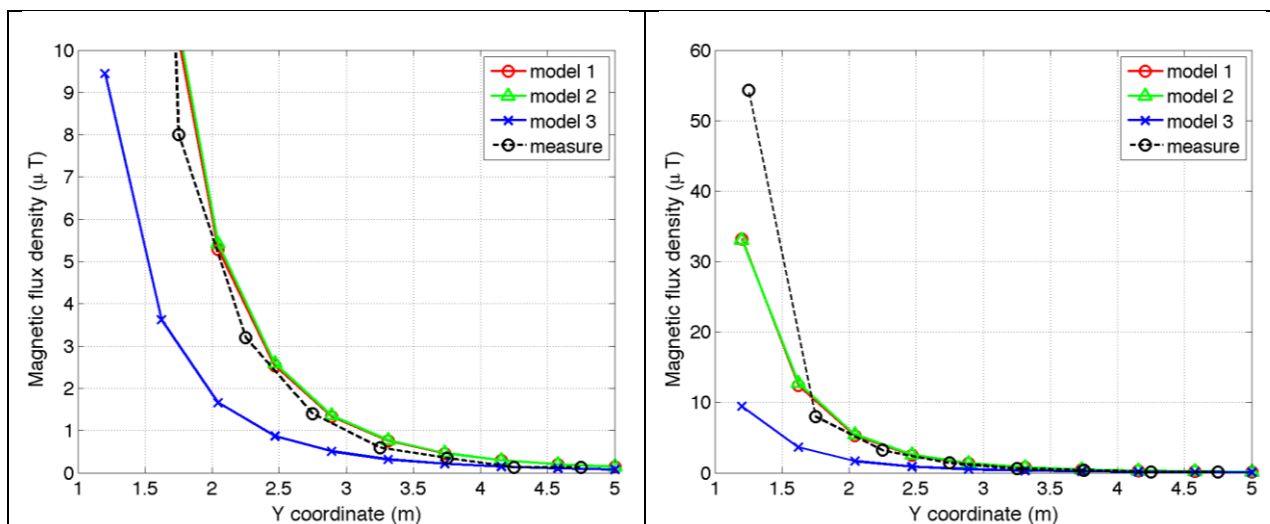


Fig. 17. Confronto tra misure modelli lungo la linea S2

## Conclusioni

Il presente documento si propone di fornire alle autorità competenti tutti gli elementi necessari affinché il software MAGIC® possa essere validato secondo quanto richiesto dal Decreto Ministeriale (160) del 29/05/2008 “Approvazione della metodologia di calcolo per la determinazione delle fasce di rispetto per gli elettrodotti”.

Come indicato nell’art. 5.1.2 (Calcolo delle fasce di rispetto per linee elettriche) del decreto del 29/05/2008, i modelli tridimensionali non sono ancora standardizzati, tuttavia un software in cui i modelli soddisfino ai seguenti requisiti indicati nel decreto:

“...i modelli utilizzati devono essere descritti in termini di algoritmi implementati, condizioni al contorno e approssimazioni attuate. Essi devono essere validati attraverso misure o per confronto con modelli che abbiano subito analogo processo di verifica. La documentazione esplicativa e comprovante i criteri di cui sopra deve essere resa disponibile alle autorità competenti ai fini dei controlli”, può essere ritenuto idoneo allo scopo e, a tal fine, è stato redatto il presente documento.

Per quanto concerne in particolare le cabine elettriche, la complessità delle sorgenti in esame richiede una valutazione accurata che tenga conto principalmente della tridimensionalità delle singole sorgenti e l’effetto prodotto dalla combinazione delle stesse (sovrapposizione degli effetti). Nelle analisi precedentemente svolte sono stati analizzati e validati i principali componenti costituenti le cabine quali linee elettriche di connessione (tratti di conduttori di lunghezza finita), quadri elettrici (tratti conduttori di lunghezza finita) e trasformatori (elementi toroidali e tratti di conduttore di lunghezza finita).

***Dai risultati ottenuti e presentati è quindi possibile concludere che il Software MAGIC® ha le caratteristiche per essere rispondente alle indicazioni richieste dal Decreto Ministeriale (160) del 29/05/2008, lasciando ovviamente alle autorità competenti la verifica ed il giudizio finale.***